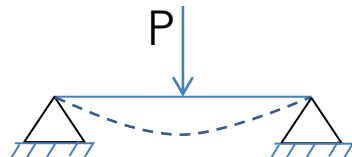


FLECHAS EM VIGAS E BARRAS FLEXIONADAS

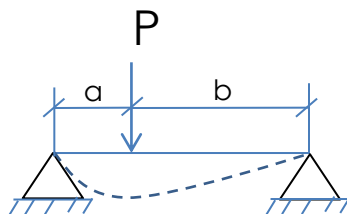
Curso de Projeto e Cálculo de Estruturas metálicas

Barras Flexionadas: ELS

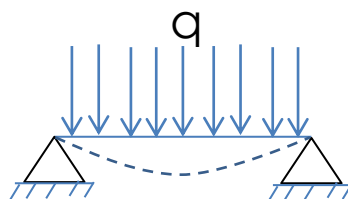
Fórmulas de Flexão e flechas em barras simples



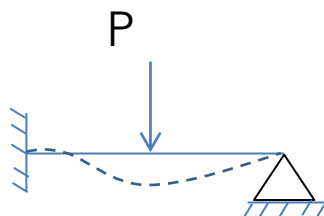
$$M_{max} = \frac{P \cdot L}{4} \quad y = \frac{P \cdot L^3}{48 \cdot E \cdot I}$$



$$M_{max} = \frac{P \cdot a \cdot b}{L} \quad y = \frac{P \cdot a^2 \cdot b^2}{3 \cdot E \cdot I}$$



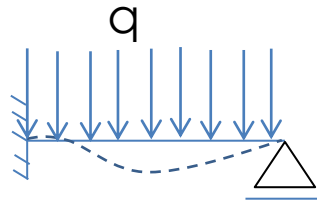
$$M_{max} = \frac{q \cdot L^2}{8} \quad y = \frac{5 \cdot q \cdot L^4}{384 \cdot E \cdot I}$$



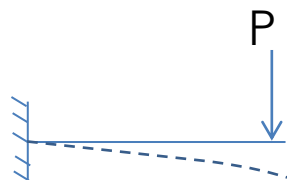
$$M_{max} = \frac{3 \cdot P \cdot L}{16} \quad y = \frac{7 \cdot P \cdot L^3}{768 \cdot E \cdot I}$$

Barras Flexionadas:

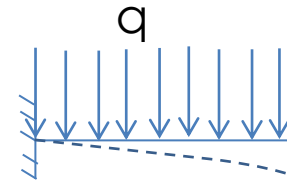
Fórmulas de Flexão e flechas em barras simples



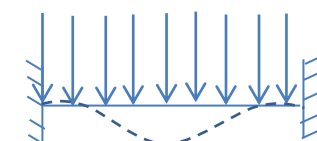
$$M_{max} = \frac{q \cdot L^2}{8} \quad y = \frac{q \cdot L^4}{185 \cdot E \cdot I}$$



$$M_{max} = P \cdot L \quad y = \frac{P \cdot L^3}{3 \cdot E \cdot I}$$



$$M_{max} = \frac{P \cdot L^2}{2} \quad y = \frac{P \cdot L^4}{8 \cdot E \cdot I}$$



$$M_{max} = \frac{P \cdot L^2}{12} \quad y = \frac{q \cdot L^4}{384 \cdot E \cdot I}$$

Barras Flexionadas:

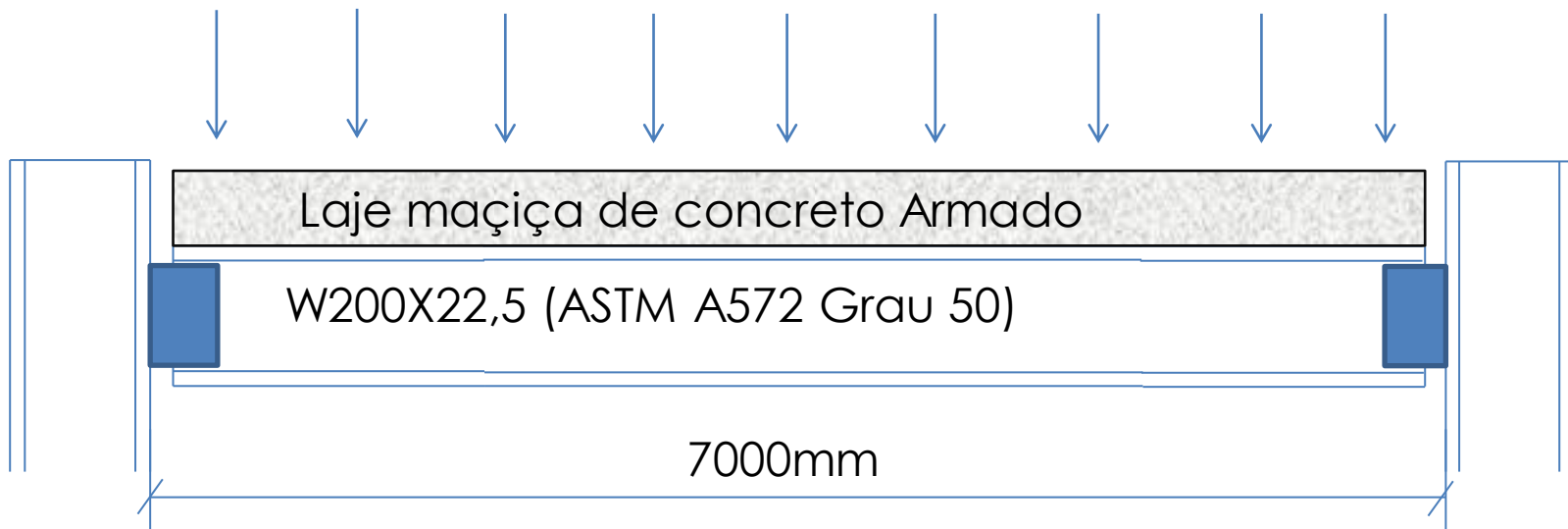
Tabela C.1 — Deslocamentos máximos

Descrição	δ^a
- Travessas de fechamento	$L/180^b$
	$L/120^{cd}$
- Terças de cobertura ^{g)}	$L/180^e$
	$L/120^f$
- Vigas de cobertura ^{g)}	$L/250^h$
- Vigas de piso	$L/350^h$
- Vigas que suportam pilares	$L/500^h$
Vigas de rolamento: ^{j)}	
- Deslocamento vertical para pontes rolantes com capacidade nominal inferior a 200 kN	$L/600^i$
	$L/800^i$
- Deslocamento vertical para pontes rolantes com capacidade nominal igual ou superior a 200 kN, exceto pontes siderúrgicas	$L/1000^i$
- Deslocamento vertical para pontes rolantes siderúrgicas com capacidade nominal igual ou superior a 200 kN	$L/400$
	$L/600$
- Deslocamento horizontal, exceto para pontes rolantes siderúrgicas	
- Deslocamento horizontal para pontes rolantes siderúrgicas	
Galpões em geral e edifícios de um pavimento:	
- Deslocamento horizontal do topo dos pilares em relação à base	$H/300$
	$H/400^{kl}$
Edifícios de dois ou mais pavimentos:	
- Deslocamento horizontal do topo dos pilares em relação à base	$H/400$
	$h/500^m$
Lajes mistas	Ver Anexo Q

Barras Flexionadas:

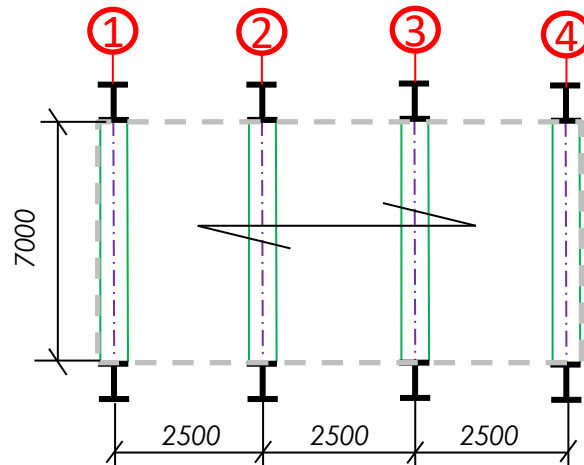
- ^a L é o vão teórico entre apoios ou o dobro do comprimento teórico do balanço, H é a altura total do pilar (distância do topo à base) ou a distância do nível da viga de rolamento à base, h é a altura do andar (distância entre centros das vigas de dois pisos consecutivos ou entre centros das vigas e a base no caso do primeiro andar).
- ^b Deslocamento paralelo ao plano do fechamento (entre linhas de tirantes, caso estes existam).
- ^c Deslocamento perpendicular ao plano do fechamento.
- ^d Considerar apenas as ações variáveis perpendiculares ao plano de fechamento (vento no fechamento) com seu valor característico.
- ^e Considerar combinações raras de serviço, utilizando-se as ações variáveis de mesmo sentido que o da ação permanente.
- ^f Considerar apenas as ações variáveis de sentido oposto ao da ação permanente (vento de succão) com seu valor característico.
- ^g Deve-se também evitar a ocorrência de empoçamento, com atenção especial aos telhados de pequena declividade.
- ^h Caso haja paredes de alvenaria sobre ou sob uma viga, solidarizadas com essa viga, o deslocamento vertical também não deve exceder a 15 mm.
- ⁱ Valor não majorado pelo coeficiente de impacto.
- ^j Considerar combinações raras de serviço.
- ^k No caso de pontes rolantes siderúrgicas, o deslocamento também não pode ser superior a 50 mm.
- ^l O diferencial do deslocamento horizontal entre pilares do pórtico que suportam as vigas de rolamento não pode superar 15 mm.
- ^m Tomar apenas o deslocamento provocado pelas forças cortantes no andar considerado, desprezando-se os deslocamentos de corpo rígido provocados pelas deformações axiais dos pilares e vigas.

Barras Flexionadas:



A viga da imagem acima suporta uma laje de concreto maciça, de espessura 15cm.

Considerando que a edificação será usada para escritórios comerciais, e que existe uma viga idêntica à da figura a cada 2,5m,
Verifique se a viga pode ser considerada aprovada quanto ao Estado Limite de Serviço



Barras Flexionadas:

Resolução:

Passo 01: Determinar Cargas Atuantes

Permanentes (PP)

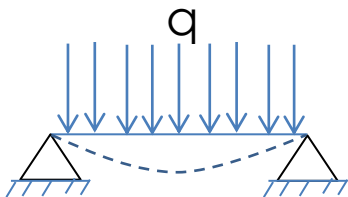
- Peso próprio da laje: $2500\text{kg/m}^3 \times 0,15\text{m} = 375 \text{ kg/m}^2 = 3,75\text{kN/m}^2$
 - Linearizando a Carga: $3,75 \text{ kN/m}^2 \times 2,5\text{m} = 9,375\text{kN/m}$
- Peso próprio da viga: $22,5\text{kg/m} = 0,225 \text{ kN/m}$, já linearizada.
 - TOTAL _____ 9,6 kN/m

Variáveis (SC)

- Sobrecargas em escritórios (NBR6120, item 14 da tabela 2): $SC = 2\text{kN/m}^2$
 - Linearizando a Carga: $2 \text{ kN/m}^2 \times 2,5\text{m} = 5\text{kN/m}$
 - TOTAL _____ 5kN/m

Barras Flexionadas:

DCL:



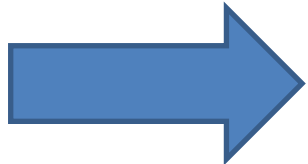
$$y = \frac{5 \cdot q \cdot L^4}{384 \cdot E \cdot I}$$

ATENÇÃO PARA AS UNIDADES:

- $L = \text{cm}$
- $E = \text{kN}/\text{cm}^2$
- $I = \text{cm}^4$
- $q = \text{kN}/\text{cm}$

Combinações para E.L.S:

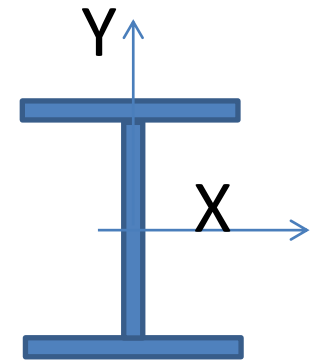
- 1) PP+SC
- 2) PP+V
- 3) PP+SC+V



$$PP + SC = 9,6 + 5,0 = 14,6 \text{ kN/m}$$

Convertendo para kN/cm :

$$14,6 / 100 = 0,146 \text{ kN/cm}$$



Cálculo da flecha máxima:

$$y = \frac{5 \cdot q \cdot L^4}{384 \cdot E \cdot I_x} \quad y = \frac{5 \cdot 0,146 \cdot 700^4}{384 \cdot 20500 \cdot 2029} \quad y = \frac{5 \cdot 0,146 \cdot 700^4}{384 \cdot 20500 \cdot 2029} = 10,97 \text{ cm}$$

Flecha Máxima Admissível: Vigas de Piso = $L/350 = 700/350 = 2 \text{ cm}$ (**PERFIL NÃO ATENDE**)

Barras Flexionadas:

À partir da expressão da flecha, podemos encontrar o Momento de Inércia mínimo para a barra, uma vez que a flecha limite sempre é conhecida

$$y = \frac{5 \cdot q \cdot L^4}{384 \cdot E \cdot I}$$
$$I = \frac{5 \cdot q \cdot L^4}{384 \cdot E \cdot y}$$

No caso: $I_{x,\min} = \frac{5.0146.700^4}{384.20500.2}$ $I_{x,\min} = \frac{5.0146.700^4}{384.20500.2} = 11132\text{cm}^4$

O perfil mais leve que atende à inércia mínima na Tabela de Bitolas da Gerdau é o W410X38,8, com 12777 cm⁴

Barras Flexionadas:

Supondo que haja uma limitação na dimensão do perfil no exemplo anterior: A altura máxima do perfil não pode ultrapassar 260mm por questões arquitetônicas.

Solução Possível #01: Selecionar um perfil com $h < 260$ e inércia adequada

O perfil mais leve que se encontra com essas condições é o W250X73(H). Representa um aumento de 88% no peso de aço da estrutura.

Solução Possível #02: Diminuir o vão livre adicionando um pilar no centro.

No caso: flecha máx = $L/350 = 350/350 = 1\text{cm}$

No caso: $I_{x,\min} = \frac{5.0146 \cdot 350^4}{384.20500.1} = 1392\text{cm}^4$

Nessas condições o W250X17,9 Atenderia. Com a penalidade de adicionar um pilar, e fabricar novas bases de concreto.

Barras Flexionadas:

Solução Possível #03: Diminuir a distância entre pilares:

Nesse caso selecionaremos o perfil desejado, que tenha maior inércia e menor peso dentro da altura desejada, e calcularemos a distância entre vigas.

PERFIL DESEJADO: W250X17,9. $I_x = 2291\text{cm}^4$

$$2291 = \frac{5 \cdot q \cdot 700^4}{384 \cdot 20500 \cdot 2} \quad q = \frac{2.2291 \cdot 20500 \cdot 384}{5 \cdot 700^4} = \frac{0,03kN}{cm} = 3kN/m$$

Sabemos que a carga distribuída superficialmente sobre a viga, excluindo-se o peso próprio dela mesma é:

$$\begin{aligned} \text{PP Laje} &= 3,75 \text{ kN/m}^2 \\ \text{SC Escri.} &= 2,00 \text{ kN/m}^2 \end{aligned}$$

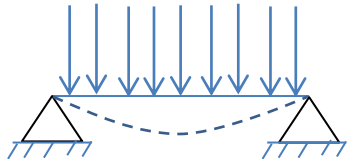
$$\begin{aligned} \text{Portanto: } Qa \cdot D + PP\text{viga} &= q \quad d = \frac{0,277}{5,75} \quad d = 0,483m \\ 5,75 \cdot d + 0,225 &= 3 \end{aligned}$$

$$\text{TOTAL} = 5,75 \text{ kN/m}^2$$

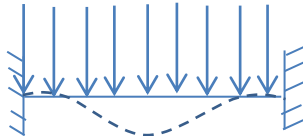
Para que o perfil W250X17,9 seja aprovado em ELS para o vão de 7m, deve haver uma barra a cada 483mm. Normalmente esse resultado inviabilizaria a solução.

Barras Flexionadas:

Solução Possível #04: Engastar os extremos:



$$y = \frac{5 \cdot q \cdot L^4}{384 \cdot E \cdot I}$$



$$y = \frac{q \cdot L^4}{384 \cdot E \cdot I}$$

A flecha em uma barra bi articulada é 5 vezes maior do que em uma barra bi engastada.

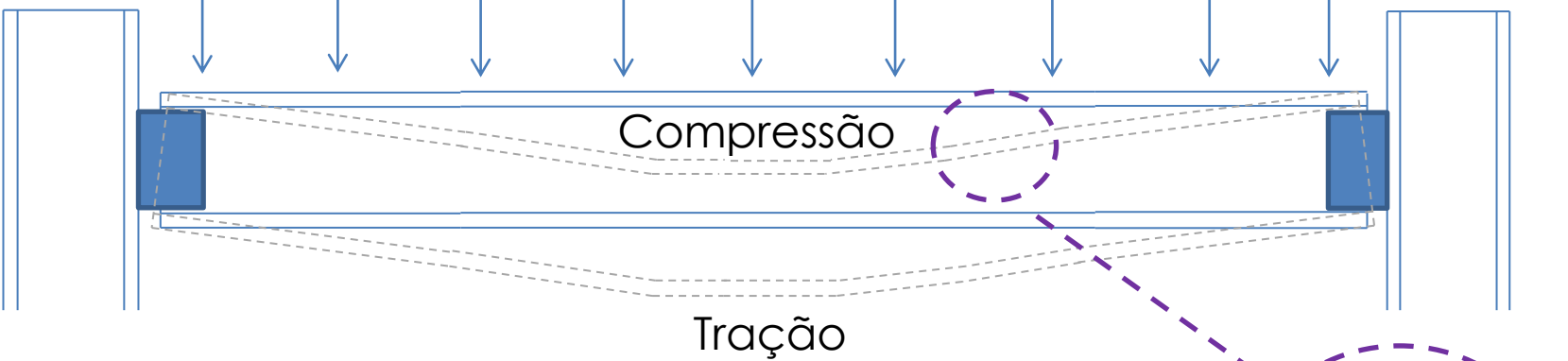
Logo a inércia necessária para uma viga bi-engastada é 5x menor (0,20) que a necessária para uma viga bi-articulada

No caso: $I_{x,\min} = \frac{0,146 \cdot 700^4}{384 \cdot 20500 \cdot 2} = 2226 \text{ cm}^4$

Nessa condição a W250X17,9 passaria (PARA ELS) no vão de 7m.

Consequência disso é a transferência de momentos fletores para os pilares, provavelmente surgindo a necessidade de torná-los mais robustos e a necessidade da elaboração de ligações mais complexas para garantir grau de engastamento e a flecha calculada..

ESTADOS LIMITES ÚLTIMOS:



Flambagem
Local

ESTADOS LIMITES ÚLTIMOS:

Flambagem Local da Alma (FLA)

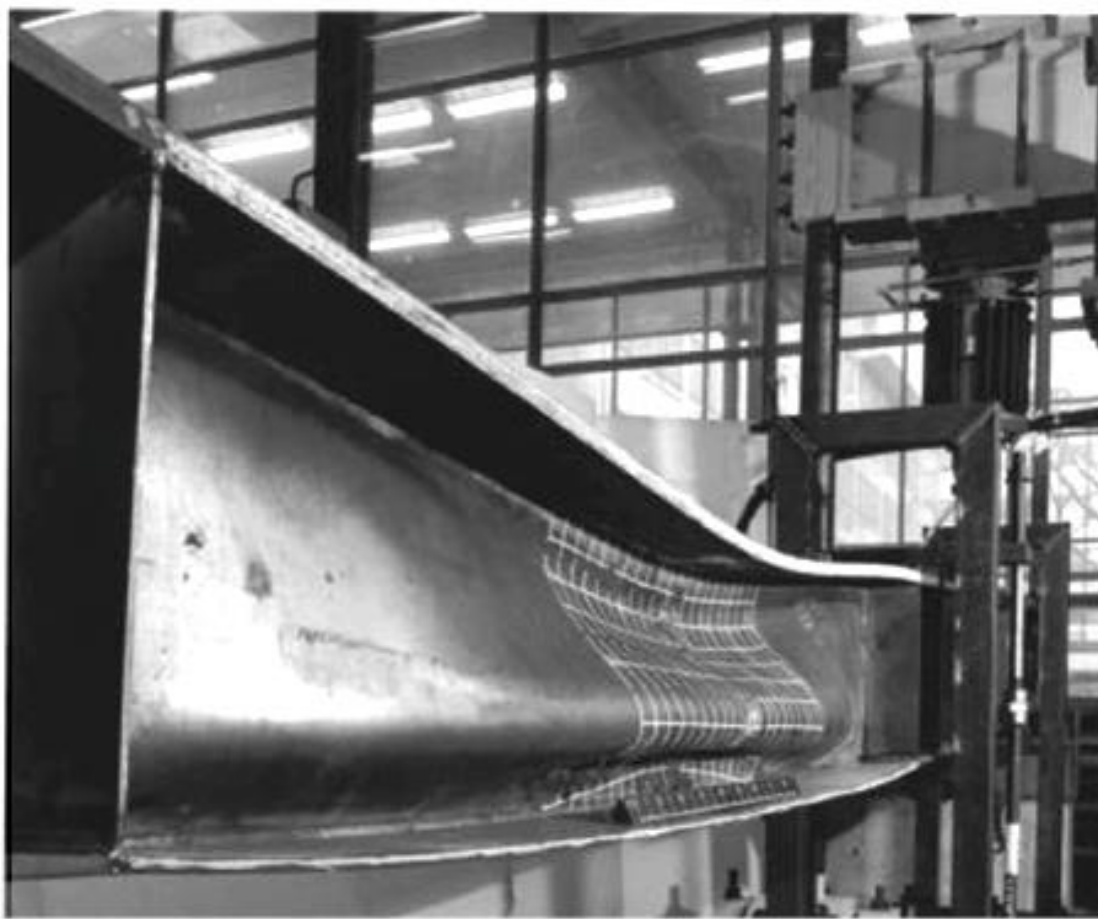


Figure 2. Vertical web buckling.

Curso de Projeto e Cálculo de Estruturas metálicas

ESTADOS LIMITES ÚLTIMOS:

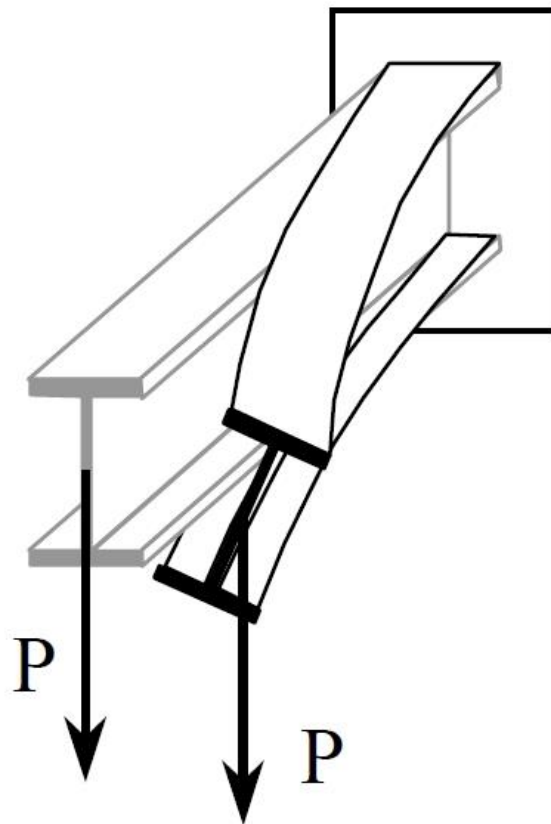
Flambagem Local da Mesa (FLM)



Curso de Projeto e Cálculo de Estruturas metálicas

Barras Flexionadas:

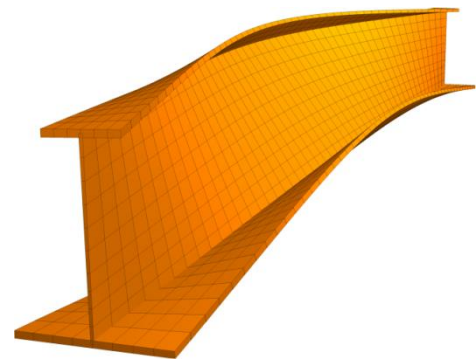
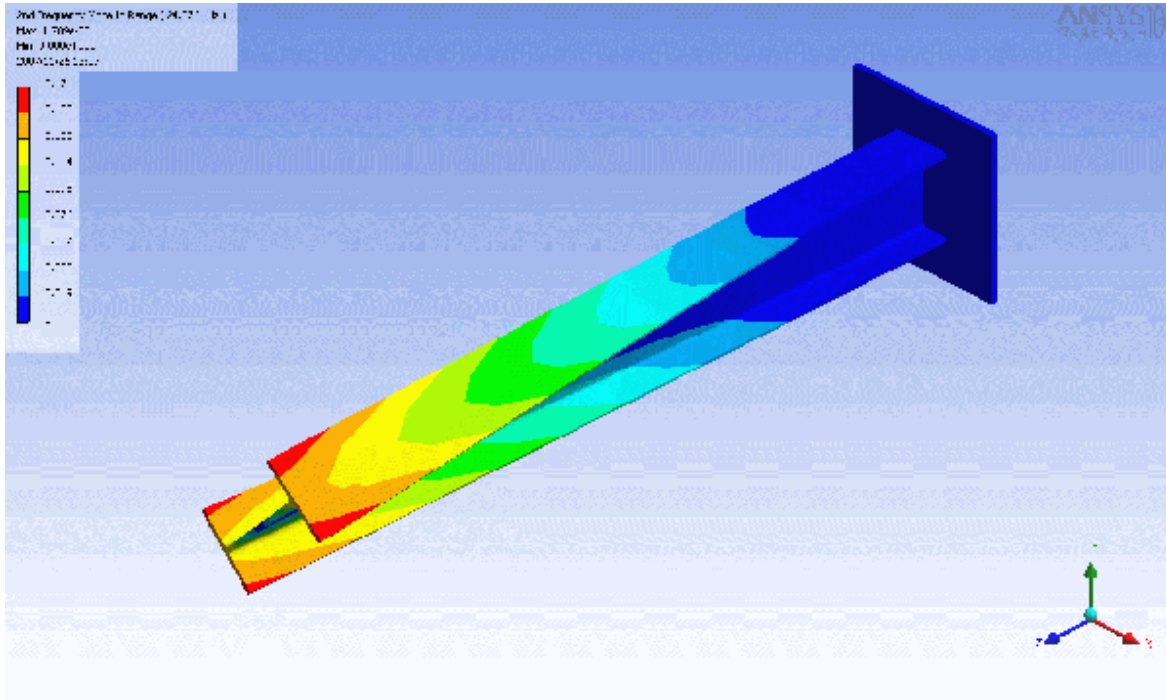
Flambagem lateral com Torção



Curso de Projeto e Cálculo de Estruturas metálicas

ESTADOS LIMITES ÚLTIMOS:

Flambagem Lateral com torção (FLT)



Curso de Projeto e Cálculo de Estruturas metálicas

ESTADOS LIMITES ÚLTIMOS:

Tabela G.1 — Parâmetros referentes ao momento fletor resistente

Tipo de seção e eixo de flexão	Estados-limites aplicáveis	M_r	M_{cr}	λ	λ_p	λ_r
Seções I e H com dois eixos de simetria e seções U não sujeitas a momento de torção, fleitas em relação ao eixo de maior momento de inércia	FLT	$(f_y - \sigma_r)W$ Ver Nota 5	Ver Nota 1	$\frac{L_b}{r_y}$	$1,76 \sqrt{\frac{E}{f_y}}$	Ver Nota 1
	FLM	$(f_y - \sigma_r)W$ Ver Nota 5	Ver Nota 6	b/t Ver Nota 8	$0,38 \sqrt{\frac{E}{f_y}}$	Ver Nota 6
	FLA	$f_y W$	Viga de alma esbelta (Anexo H)	$\frac{h}{t_w}$	$3,76 \sqrt{\frac{E}{f_y}}$	$5,70 \sqrt{\frac{E}{f_y}}$
Seções I e H com apenas um eixo de simetria situado no plano médio da alma, fleitas em relação ao eixo de maior momento de inércia (ver Nota 9)	FLT	$(f_y - \sigma_r)W_c \leq f_y W_t$ Ver Nota 5	Ver Nota 2	$\frac{L_b}{r_{yc}}$	$1,76 \sqrt{\frac{E}{f_y}}$	Ver Nota 2
	FLM	$(f_y - \sigma_r)W_c$ Ver Nota 5	Ver Nota 6	b/t Ver Nota 8	$0,38 \sqrt{\frac{E}{f_y}}$	Ver Nota 6
	FLA	$f_y W$	Viga de alma esbelta (Anexo H)	$\frac{h_c}{t_w}$	$\frac{h_c}{h_t} \sqrt{\frac{E}{f_y}} \leq \lambda_r$ $\left(0,54 \frac{M_{pl}}{M_r} - 0,09\right)^2$	$5,70 \sqrt{\frac{E}{f_y}}$
Seções I e H com dois eixos de simetria e seções U fleitas em relação ao eixo de menor momento de inércia	FLM Ver Nota 3	$(f_y - \sigma_r)W$	Ver Nota 6	b/t Ver Nota 8	$0,38 \sqrt{\frac{E}{f_y}}$	Ver Nota 6
	FLA Ver Nota 3	$f_y W_{ef}$ Ver Nota 4	$\frac{W_{ef}^2}{W} f_y$ Ver Nota 4	$\frac{h}{t_w}$	$1,12 \sqrt{\frac{E}{f_y}}$	$1,40 \sqrt{\frac{E}{f_y}}$
Seções sólidas retangulares fleitas em relação ao eixo de maior momento de inércia	FLT	$f_y W$	$\frac{2,00 C_b E}{\lambda} \sqrt{JA}$	$\frac{L_b}{r_y}$	$\frac{0,13 E}{M_{pl}} \sqrt{JA}$	$\frac{2,00 E}{M_r} \sqrt{JA}$
Seções-caixão e tubulares retangulares, duplamente simétricas, fleitas em relação a um dos eixos de simetria que seja paralelo a dois lados	FLT Ver Nota 7	$(f_y - \sigma_r)W$ Ver Nota 5	$\frac{2,00 C_b E}{\lambda} \sqrt{JA}$	$\frac{L_b}{r_y}$	$\frac{0,13 E}{M_{pl}} \sqrt{JA}$	$\frac{2,00 E}{M_r} \sqrt{JA}$
	FLM	$f_y W_{ef}$ Ver Nota 4	$\frac{W_{ef}^2}{W} f_y$ Ver Nota 4	b/t Ver Nota 8	$1,12 \sqrt{\frac{E}{f_y}}$	$1,40 \sqrt{\frac{E}{f_y}}$
	FLA	$f_y W$	-	$\frac{h}{t_w}$	Ver Nota 10	$5,70 \sqrt{\frac{E}{f_y}}$

Para cada estado Limite:

Passo 1: Calcular λ

Passo 2: Comparar λ com λ_p e λ_r

Para FLT:

- a) $M_{Rd} = \frac{M_{pl}}{\gamma_{a1}}$, para $\lambda \leq \lambda_p$
$$M_{pl} = Z \cdot Fy$$
- b) $M_{Rd} = \frac{C_b}{\gamma_{a1}} \left[M_{pl} - (M_{pl} - M_r) \frac{\lambda - \lambda_p}{\lambda_r - \lambda_p} \right] \leq \frac{M_{pl}}{\gamma_{a1}}$, para $\lambda_p < \lambda \leq \lambda_r$
- c) $M_{Rd} = \frac{M_{cr}}{\gamma_{a1}} \leq \frac{M_{pl}}{\gamma_{a1}}$, para $\lambda > \lambda_r$

Para FLM e FLA:

- a) $M_{Rd} = \frac{M_{pl}}{\gamma_{a1}}$, para $\lambda \leq \lambda_p$
- b) $M_{Rd} = \frac{1}{\gamma_{a1}} \left[M_{pl} - (M_{pl} - M_r) \frac{\lambda - \lambda_p}{\lambda_r - \lambda_p} \right]$, para $\lambda_p < \lambda \leq \lambda_r$
- c) $M_{Rd} = \frac{M_{cr}}{\gamma_{a1}}$, para $\lambda > \lambda_r$ (não aplicável à FLA - ver Anexo H)

ESTADOS LIMITES ÚLTIMOS:

EQ. A

λ_p

EQ. B

λ_r

EQ. C

O Momento Fletor Resistente de cálculo é o menor dos resultados:

- Mrd do FLM
- Mrd do FLA
- Mrd do FLT

O valor de Mrd não pode ser superior a $1,5 \cdot W \cdot F_y / 1,1$

ESTADOS LIMITES ÚLTIMOS:

As Notas relacionadas à Tabela G.1 são as seguintes:

$$1) \lambda_r = \frac{1,38\sqrt{I_y J}}{r_y J \beta_1} \sqrt{1 + \sqrt{1 + \frac{27C_w \beta_1^2}{I_y}}}$$

$$M_{cr} = \frac{C_b \pi^2 E I_y}{L_b^2} \sqrt{\frac{C_w}{I_y} \left(1 + 0,039 \frac{J L_b^2}{C_w} \right)}$$

onde:

$$\beta_1 = \frac{(f_y - \sigma_r) W_c}{E J}$$

$$C_w = \frac{I_y (d - t_f)^2}{4}, \text{ para seções I}$$

$$C_w = \frac{t_f (b_f - 0,5 t_w)^3 (d - t_f)^2}{12} \left[\frac{3(b_f - 0,5 t_w) t_f + 2(d - t_f) t_w}{6(b_f - 0,5 t_w) t_f + (d - t_f) t_w} \right], \text{ para seções U}$$

$$2) \lambda_r = \frac{1,38\sqrt{I_y J}}{r_y c_e J \beta_1} \sqrt{\beta_2 + \sqrt{\beta_2^2 + \frac{27C_w \beta_1^2}{I_y}}}$$

$$M_{cr} = \frac{C_b \pi^2 E I_y}{L_b^2} \left[\beta_3 + \sqrt{\beta_3^2 + \frac{C_w}{I_y} \left(1 + 0,039 \frac{J L_b^2}{C_w} \right)} \right]$$

onde:

$$\beta_1 = \frac{(f_y - \sigma_r) W_c}{E J}$$

$$\beta_2 = 5,2 \beta_1 \beta_3 + 1$$

$$\beta_3 = 0,45 \left(d - \frac{t_{fs} + t_{ff}}{2} \right) \left(\frac{\alpha_y - 1}{\alpha_y + 1} \right), \text{ com } \alpha_y \text{ conforme Nota 9 a seguir}$$

$$C_w = \frac{\left(d - \frac{t_{fs} + t_{ff}}{2} \right)^2}{12} \left(\frac{t_{ff} b_{ff}^3 t_{fs} b_{fs}^3}{t_{ff} b_{ff}^3 + t_{fs} b_{fs}^3} \right)$$

SEÇÕES ESBELTAS EM ÚLTIMO CASO. PARA O CASO DE ALMA ESBELTA, ADOTAR O ANEXO H DA NBR8800/08

ESTADOS LIMITES ÚLTIMOS:

- 3) O estado-limite FLA aplica-se só à alma da seção U, quando comprimida pelo momento fletor. Para seção U, o estado-limite FLM aplica-se somente quando a extremidade livre das mesas for comprimida pelo momento fletor.
- 4) W_{ef} é o módulo de resistência mínimo elástico, relativo ao eixo de flexão, para uma seção que tem uma mesa comprimida (ou alma comprimida no caso de perfil U fletido em relação ao eixo de menor inércia) de largura igual a b_{ef} , dada por F.3.2, com σ igual a f_y . Em alma comprimida de seção U fletida em relação ao eixo de menor momento de inércia, $b = h$, $t = t_w$ e $b_{ef} = h_{ef}$.
- 5) A tensão residual de compressão nas mesas, σ_r , deve ser tomada igual a 30 % da resistência ao escoamento do aço utilizado.
- 6) Para perfis laminados: $M_{cr} = \frac{0,69E}{\lambda^2} W_c$, $\lambda_r = 0,83 \sqrt{\frac{E}{(f_y - \sigma_r)}}$
Para perfis soldados: $M_{cr} = \frac{0,90Ek_c}{\lambda^2} W_c$, $\lambda_r = 0,95 \sqrt{\frac{E}{(f_y - \sigma_r)/k_c}}$
com k_c conforme F.2.
- 7) O estado-limite FLT só é aplicável quando o eixo de flexão for o de maior momento de inércia.
- 8) b/t é a relação entre largura e espessura aplicável à mesa do perfil; no caso de seções I e H com um eixo de simetria, b/t refere-se à mesa comprimida (para mesas de seções I e H, b é a metade da largura total, para mesas de seções U, a largura total, para seções tubulares retangulares, a largura da parte plana e para perfis caixão, a distância livre entre almas).

ESTADOS LIMITES ÚLTIMOS:

9) Para essas seções, devem ser obedecidas as seguintes limitações:

a) $\frac{1}{9} \leq \alpha_y \leq 9$

com

$$\alpha_y = \frac{I_{yc}}{I_{yt}}$$

b) a soma das áreas da menor mesa e da alma deve ser superior à área da maior mesa.

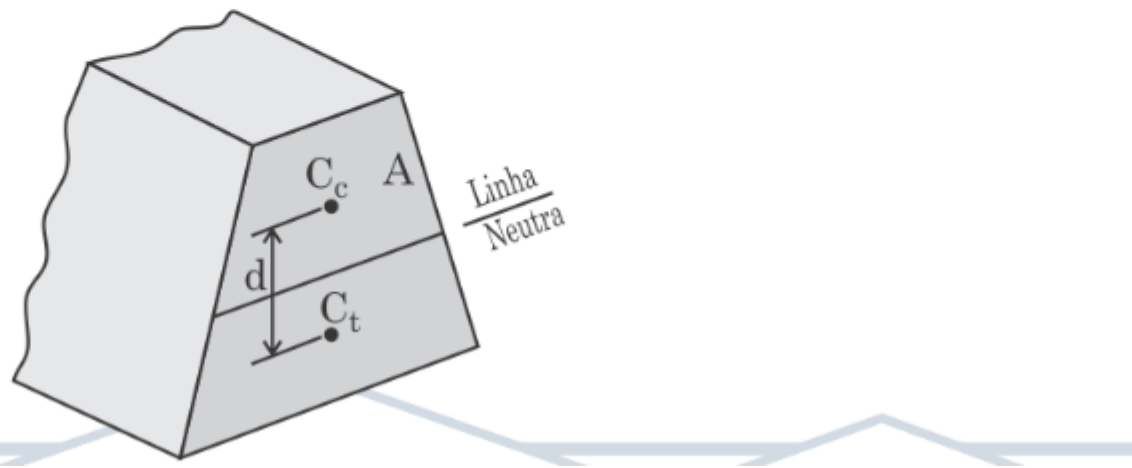
10) Para seções-caixão: $\lambda_p = 3,76 \sqrt{\frac{E}{f_y}}$

Para seções tubulares retangulares: $\lambda_p = 2,42 \sqrt{\frac{E}{f_y}}$

ESTADOS LIMITES ÚLTIMOS:

$$Z = \frac{1}{2} Ad$$

Onde A é a área da seção transversal e d é a distância entre o centro geométrico da região comprimida e o centro geométrico da região tracionada. A Figura 4.11 ilustra essa ideia para um momento positivo.



Exemplo:

No caso do exemplo anterior tínhamos:

Perfil W250X17,9 (ASTM A572 Grau 50) no vão de 7 metros.

Determinação das cargas para verificação de ELU.

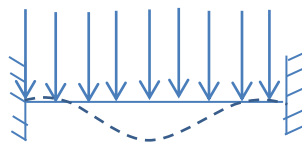
Combinações para E.L.U:

1) 1,4PP + 1,5 SC

2) PP+1,4V

3) ~~1,4PP+1,5SC+0,84V~~

$$q = 1,4 \cdot 9,6 + 1,5 \cdot 5,0 = 20,94 \text{ kN/m}$$



$$Msd = \frac{q \cdot L^2}{12}$$

$$Msd = \frac{0,2094 \cdot 700^2}{12}$$

$$Msd = 8550,05 \text{ kN.cm}$$

Exemplo:

BITOLA mm x kg/m	Massa Linear kg/m	ESPESSURA					EIXO X - X				EIXO Y - Y				r _t cm	l _t cm ⁴	ESBELTEZ			
		d mm	b, mm	t _e mm	t _w mm	h mm	d' mm	Área cm ²	I _x cm ⁴	W _x cm ³	r _x cm	Z _x cm ³	I _y cm ⁴	W _y cm ³	r _y cm	Z _y cm ³	MESA - λ _u	ALMA - λ _w	b ₁ /2t _w	d'/t _w
W 150 x 13,0	13,0	148	100	4,3	4,9	138	118	16,6	635	85,8	6,18	96,4	82	16,4	2,22	25,5	2,60	1,72	10,20	27,49
W 150 x 18,0	18,0	153	102	5,8	7,1	139	119	23,4	939	122,8	6,34	139,4	126	24,7	2,32	38,5	2,69	4,34	7,18	20,48
W 150 x 22,5 (H)	22,5	152	152	5,8	6,6	139	119	29,0	1229	161,7	6,51	179,6	387	50,9	3,65	77,9	4,10	4,75	11,52	20,48
W 150 x 24,0	24,0	160	102	6,6	10,3	139	115	31,5	1384	173,0	6,63	197,6	183	35,9	2,41	55,8	2,73	11,08	4,95	17,48
W 150 x 29,8 (H)	29,8	157	153	6,6	9,3	138	118	38,5	1739	221,5	6,72	247,5	556	72,6	3,80	110,8	4,18	10,95	8,23	17,94
W 150 x 37,1 (H)	37,1	162	154	8,1	11,6	139	119	47,8	2244	277,0	6,85	313,5	707	91,8	3,84	140,4	4,22	20,58	6,64	14,67
W 200 x 15,0	15,0	200	100	4,3	5,2	190	170	19,4	1305	130,5	8,20	147,9	87	17,4	2,12	27,3	2,55	2,05	9,62	39,44
W 200 x 19,3	19,3	203	102	5,8	6,5	190	170	25,1	1686	166,1	8,19	190,6	116	22,7	2,14	35,9	2,59	4,02	7,85	29,31
W 200 x 22,5	22,5	206	102	6,2	8,0	190	170	29,0	2029	197,0	8,37	225,5	142	27,9	2,22	43,9	2,63	6,18	6,38	27,42
W 200 x 26,6	26,6	207	133	5,8	8,4	190	170	34,2	2611	252,3	8,73	282,3	330	49,6	3,10	76,3	3,54	7,65	7,92	29,34
W 200 x 31,3	31,3	210	134	6,4	10,2	190	170	40,3	3168	301,7	8,86	338,6	410	61,2	3,19	94,0	3,60	12,59	6,57	26,50
W 200 x 35,9 (H)	35,9	201	165	6,2	10,2	181	161	45,7	3437	342,0	8,67	379,2	764	92,6	4,09	141,0	4,50	14,51	8,09	25,90
W 200 x 41,7 (H)	41,7	205	166	7,2	11,8	181	157	53,5	4114	401,4	8,77	448,6	901	108,5	4,10	165,7	4,53	23,19	7,03	21,86
W 200 x 46,1 (H)	46,1	203	203	7,2	11,0	181	161	58,6	4543	447,6	8,81	495,3	1535	151,2	5,12	229,5	5,58	22,01	9,23	22,36
W 200 x 52,0 (H)	52,0	206	204	7,9	12,6	181	157	66,9	5298	514,4	8,90	572,5	1784	174,9	5,16	265,8	5,61	33,34	8,10	19,85
HP 200 x 53,0 (H)	53,0	204	207	11,3	11,3	181	161	68,1	4977	488,0	8,55	551,3	1673	161,7	4,96	248,6	5,57	31,93	9,16	14,28
W 200 x 59,0 (H)	59,0	210	205	9,1	14,2	182	158	76,0	6140	584,8	8,99	655,9	2041	199,1	5,18	303,0	5,64	47,69	7,22	17,32
W 200 x 71,0 (H)	71,0	216	206	10,2	17,4	181	161	91,0	7660	709,2	9,17	803,2	2537	246,3	5,28	374,5	5,70	81,66	5,92	15,80
W 200 x 86,0 (H)	86,0	222	209	13,0	20,6	181	157	110,9	9498	855,7	9,26	984,2	3139	300,4	5,32	458,7	5,77	142,19	5,07	12,06
W 200 x 100,0 (H)*	100,0	229	210	14,5	23,7	182	158	127,1	11355	991,7	9,45	1152,2	3664	349,0	5,37	533,4	5,80	212,61	4,43	10,87
W 250 x 17,9	17,9	251	101	4,8	5,3	240	220	23,1	2291	182,6	9,96	211,0	91	18,1	1,99	28,8	2,48	2,54	9,53	45,92
W 250 x 22,3	22,3	254	102	5,8	6,9	240	220	28,9	2939	231,4	10,09	267,7	123	24,1	2,06	38,4	2,54	4,77	7,39	37,97
W 250 x 25,3	25,3	257	102	6,1	8,4	240	220	32,6	3473	270,2	10,31	311,1	149	29,3	2,14	46,4	2,58	7,06	6,07	36,10
W 250 x 28,4	28,4	260	102	6,4	10,0	240	220	36,6	4046	311,2	10,51	357,3	178	34,8	2,20	54,9	2,62	10,34	5,10	34,38
W 250 x 32,7	32,7	258	146	6,1	9,1	240	220	42,1	4937	382,7	10,83	428,5	473	64,8	3,35	99,7	3,86	10,44	8,02	36,03
W 250 x 38,5	38,5	262	147	6,6	11,2	240	220	49,6	6057	462,4	11,05	517,8	594	80,8	3,46	124,1	3,93	17,63	6,56	33,27

Verificação da Esbeltez da Mesa

$$\lambda = \frac{b}{2tf} = \frac{101}{2.5,3} = 9,53 \quad \text{Comparar com } \lambda_p = 0,38 \cdot \sqrt{\frac{E}{Fy}} = 0,38 \cdot \sqrt{\frac{20500}{34,5}} = 9,26$$

Exemplo:

BITOLA mm x kg/m	Massa Linear kg/m	ESPESSURA					EIXO X - X				EIXO Y - Y				r _t cm	ESBELTEZ				
		d mm	b, mm	t _e mm	t _w mm	h mm	d' mm	Área cm ²	I _x cm ⁴	W _x cm ³	r _x cm	Z _x cm ³	I _y cm ⁴	W _y cm ³	r _y cm	Z _y cm ³	MESA - λ _r	ALMA - λ _w	b _t /2t _w	d'/t _w
W 150 x 13,0	13,0	148	100	4,3	4,9	138	118	16,6	635	85,8	6,18	96,4	82	16,4	2,22	25,5	2,60	1,72	10,20	27,49
W 150 x 18,0	18,0	153	102	5,8	7,1	139	119	23,4	939	122,8	6,34	139,4	126	24,7	2,32	38,5	2,69	4,34	7,18	20,48
W 150 x 22,5 (H)	22,5	152	152	5,8	6,6	139	119	29,0	1229	161,7	6,51	179,6	387	50,9	3,65	77,9	4,10	4,75	11,52	20,48
W 150 x 24,0	24,0	160	102	6,6	10,3	139	115	31,5	1384	173,0	6,63	197,6	183	35,9	2,41	55,8	2,73	11,08	4,95	17,48
W 150 x 29,8 (H)	29,8	157	153	6,6	9,3	138	118	38,5	1739	221,5	6,72	247,5	556	72,6	3,80	110,8	4,18	10,95	8,23	17,94
W 150 x 37,1 (H)	37,1	162	154	8,1	11,6	139	119	47,8	2244	277,0	6,85	313,5	707	91,8	3,84	140,4	4,22	20,58	6,64	14,67
W 200 x 15,0	15,0	200	100	4,3	5,2	190	170	19,4	1305	130,5	8,20	147,9	87	17,4	2,12	27,3	2,55	2,05	9,62	39,44
W 200 x 19,3	19,3	203	102	5,8	6,5	190	170	25,1	1686	166,1	8,19	190,6	116	22,7	2,14	35,9	2,59	4,02	7,85	29,31
W 200 x 22,5	22,5	206	102	6,2	8,0	190	170	29,0	2029	197,0	8,37	225,5	142	27,9	2,22	43,9	2,63	6,18	6,38	27,42
W 200 x 26,6	26,6	207	133	5,8	8,4	190	170	34,2	2611	252,3	8,73	282,3	330	49,6	3,10	76,3	3,54	7,65	7,92	29,34
W 200 x 31,3	31,3	210	134	6,4	10,2	190	170	40,3	3168	301,7	8,86	338,6	410	61,2	3,19	94,0	3,60	12,59	6,57	26,50
W 200 x 35,9 (H)	35,9	201	165	6,2	10,2	181	161	45,7	3437	342,0	8,67	379,2	764	92,6	4,09	141,0	4,50	14,51	8,09	25,90
W 200 x 41,7 (H)	41,7	205	166	7,2	11,8	181	157	53,5	4114	401,4	8,77	448,6	901	108,5	4,10	165,7	4,53	23,19	7,03	21,86
W 200 x 46,1 (H)	46,1	203	203	7,2	11,0	181	161	58,6	4543	447,6	8,81	495,3	1535	151,2	5,12	229,5	5,58	22,01	9,23	22,36
W 200 x 52,0 (H)	52,0	206	204	7,9	12,6	181	157	66,9	5298	514,4	8,90	572,5	1784	174,9	5,16	265,8	5,61	33,34	8,10	19,85
HP 200 x 53,0 (H)	53,0	204	207	11,3	11,3	181	161	68,1	4977	488,0	8,55	551,3	1673	161,7	4,96	248,6	5,57	31,93	9,16	14,28
W 200 x 59,0 (H)	59,0	210	205	9,1	14,2	182	158	76,0	6140	584,8	8,99	655,9	2041	199,1	5,18	303,0	5,64	47,69	7,22	17,32
W 200 x 71,0 (H)	71,0	216	206	10,2	17,4	181	161	91,0	7660	709,2	9,17	803,2	2537	246,3	5,28	374,5	5,70	81,66	5,92	15,80
W 200 x 86,0 (H)	86,0	222	209	13,0	20,6	181	157	110,9	9498	855,7	9,26	984,2	3139	300,4	5,32	458,7	5,77	142,19	5,07	12,06
W 200 x 100,0 (H)*	100,0	229	210	14,5	23,7	182	158	127,1	11355	991,7	9,45	1152,2	3664	349,0	5,37	533,4	5,80	212,61	4,43	10,87
W 250 x 17,9	17,9	251	101	4,8	5,3	240	220	23,1	2291	182,6	9,96	211,0	91	18,1	1,99	28,8	2,48	2,54	9,53	45,92
W 250 x 22,3	22,3	254	102	5,8	6,9	240	220	28,9	2939	231,4	10,09	267,7	123	24,1	2,06	38,4	2,54	4,77	7,39	37,97
W 250 x 25,3	25,3	257	102	6,1	8,4	240	220	32,6	3473	270,2	10,31	311,1	149	29,3	2,14	46,4	2,58	7,06	6,07	36,10
W 250 x 28,4	28,4	260	102	6,4	10,0	240	220	36,6	4046	311,2	10,51	357,3	178	34,8	2,20	54,9	2,62	10,34	5,10	34,38
W 250 x 32,7	32,7	258	146	6,1	9,1	240	220	42,1	4937	382,7	10,83	428,5	473	64,8	3,35	99,7	3,86	10,44	8,02	36,03
W 250 x 38,5	38,5	262	147	6,6	11,2	240	220	49,6	6057	462,4	11,05	517,8	594	80,8	3,46	124,1	3,93	17,63	6,56	33,27

Verificação da Esbeltez da Mesa: Como a mesa não é compacta, comparar com

$$\lambda = \frac{b}{2tf} = \frac{101}{2.5,3} = 9,53 \text{ Comparar com } \lambda_r = 0,83. \sqrt{\frac{E}{(Fy-\sigma)}} = 0,83. \sqrt{\frac{20500}{(34,5-0,334,5)}} = 24,18$$

A SEÇÃO É SEMI – COMPACTA PARA O ESTADO LIMITE FLM

Exemplo:

BITOLA mm x kg/m	Massa Linear kg/m	ESPESSURA					EIXO X - X				EIXO Y - Y				r _t cm	ESBELTEZ				
		d mm	b, mm	t _e mm	t' mm	h mm	d' mm	Área cm ²	I _x cm ⁴	W _x cm ³	r _x cm	Z _x cm ³	I _y cm ⁴	W _y cm ³	r _y cm	Z _y cm ³	MESA - λ _e	ALMA - λ _w	b _t /2t _e	d'/t _e
W 150 x 13,0	13,0	148	100	4,3	4,9	138	118	16,6	635	85,8	6,18	96,4	82	16,4	2,22	25,5	2,60	1,72	10,20	27,49
W 150 x 18,0	18,0	153	102	5,8	7,1	139	119	23,4	939	122,8	6,34	139,4	126	24,7	2,32	38,5	2,69	4,34	7,18	20,48
W 150 x 22,5 (H)	22,5	152	152	5,8	6,6	139	119	29,0	1229	161,7	6,51	179,6	387	50,9	3,65	77,9	4,10	4,75	11,52	20,48
W 150 x 24,0	24,0	160	102	6,6	10,3	139	115	31,5	1384	173,0	6,63	197,6	183	35,9	2,41	55,8	2,73	11,08	4,95	17,48
W 150 x 29,8 (H)	29,8	157	153	6,6	9,3	138	118	38,5	1739	221,5	6,72	247,5	556	72,6	3,80	110,8	4,18	10,95	8,23	17,94
W 150 x 37,1 (H)	37,1	162	154	8,1	11,6	139	119	47,8	2244	277,0	6,85	313,5	707	91,8	3,84	140,4	4,22	20,58	6,64	14,67
W 200 x 15,0	15,0	200	100	4,3	5,2	190	170	19,4	1305	130,5	8,20	147,9	87	17,4	2,12	27,3	2,55	2,05	9,62	39,44
W 200 x 19,3	19,3	203	102	5,8	6,5	190	170	25,1	1686	166,1	8,19	190,6	116	22,7	2,14	35,9	2,59	4,02	7,85	29,31
W 200 x 22,5	22,5	206	102	6,2	8,0	190	170	29,0	2029	197,0	8,37	225,5	142	27,9	2,22	43,9	2,63	6,18	6,38	27,42
W 200 x 26,6	26,6	207	133	5,8	8,4	190	170	34,2	2611	252,3	8,73	282,3	330	49,6	3,10	76,3	3,54	7,65	7,92	29,34
W 200 x 31,3	31,3	210	134	6,4	10,2	190	170	40,3	3168	301,7	8,86	338,6	410	61,2	3,19	94,0	3,60	12,59	6,57	26,50
W 200 x 35,9 (H)	35,9	201	165	6,2	10,2	181	161	45,7	3437	342,0	8,67	379,2	764	92,6	4,09	141,0	4,50	14,51	8,09	25,90
W 200 x 41,7 (H)	41,7	205	166	7,2	11,8	181	157	53,5	4114	401,4	8,77	448,6	901	108,5	4,10	165,7	4,53	23,19	7,03	21,86
W 200 x 46,1 (H)	46,1	203	203	7,2	11,0	181	161	58,6	4543	447,6	8,81	495,3	1535	151,2	5,12	229,5	5,58	22,01	9,23	22,36
W 200 x 52,0 (H)	52,0	206	204	7,9	12,6	181	157	66,9	5298	514,4	8,90	572,5	1784	174,9	5,16	265,8	5,61	33,34	8,10	19,85
HP 200 x 53,0 (H)	53,0	204	207	11,3	11,3	181	161	68,1	4977	488,0	8,55	551,3	1673	161,7	4,96	248,6	5,57	31,93	9,16	14,28
W 200 x 59,0 (H)	59,0	210	205	9,1	14,2	182	158	76,0	6140	584,8	8,99	655,9	2041	199,1	5,18	303,0	5,64	47,69	7,22	17,32
W 200 x 71,0 (H)	71,0	216	206	10,2	17,4	181	161	91,0	7660	709,2	9,17	803,2	2537	246,3	5,28	374,5	5,70	81,66	5,92	15,80
W 200 x 86,0 (H)	86,0	222	209	13,0	20,6	181	157	110,9	9498	855,7	9,26	984,2	3139	300,4	5,32	458,7	5,77	142,19	5,07	12,06
W 200 x 100,0 (H)*	100,0	229	210	14,5	23,7	182	158	127,1	11355	991,7	9,45	1152,2	3664	349,0	5,37	533,4	5,80	212,61	4,43	10,87
W 250 x 17,9	17,9	251	101	4,8	5,3	240	220	23,1	2291	182,6	9,96	211,0	91	18,1	1,99	28,8	2,48	2,54	9,53	45,92
W 250 x 22,3	22,3	254	102	5,8	6,9	240	220	28,9	2939	231,4	10,09	267,7	123	24,1	2,06	38,4	2,54	4,77	7,39	37,97
W 250 x 25,3	25,3	257	102	6,1	8,4	240	220	32,6	3473	270,2	10,31	311,1	149	29,3	2,14	46,4	2,58	7,06	6,07	36,10
W 250 x 28,4	28,4	260	102	6,4	10,0	240	220	36,6	4046	311,2	10,51	357,3	178	34,8	2,20	54,9	2,62	10,34	5,10	34,38
W 250 x 32,7	32,7	258	146	6,1	9,1	240	220	42,1	4937	382,7	10,83	428,5	473	64,8	3,35	99,7	3,86	10,44	8,02	36,03
W 250 x 38,5	38,5	262	147	6,6	11,2	240	220	49,6	6057	462,4	11,05	517,8	594	80,8	3,46	124,1	3,93	17,63	6,56	33,27

Verificação da Esbeltez da Alma

$$\lambda = \frac{d'}{tw} = \frac{220}{4,8} = 45,9 \quad \text{Comparar com} \quad \lambda_p = 3,76 \cdot \sqrt{\frac{E}{Fy}} = 3,76 \cdot \sqrt{\frac{20500}{34,5}} = 91,65$$

SEÇÃO COMPACTA QUANTO À ALMA

Curso de Projeto e Cálculo de Estruturas metálicas

Exemplo:

BITOLA mm x kg/m	Massa Linear kg/m			ESPESSURA		h mm	d' mm	Área cm ²	EIXO X - X				EIXO Y - Y				r _t cm	l _t cm ⁴	ESBELTEZ		
		d mm	b, mm	t _e mm	t _w mm				I _x cm ⁴	W _x cm ³	r _x cm	Z _x cm ³	I _y cm ⁴	W _y cm ³	r _y cm	Z _y cm ³			MESA - λ _u	ALMA - λ _w	b ₁ /2t _w
W 150 x 13,0	13,0	148	100	4,3	4,9	138	118	16,6	635	85,8	6,18	96,4	82	16,4	2,22	25,5	2,60	1,72	10,20	27,49	
W 150 x 18,0	18,0	153	102	5,8	7,1	139	119	23,4	939	122,8	6,34	139,4	126	24,7	2,32	38,5	2,69	4,34	7,18	20,48	
W 150 x 22,5 (H)	22,5	152	152	5,8	6,6	139	119	29,0	1229	161,7	6,51	179,6	387	50,9	3,65	77,9	4,10	4,75	11,52	20,48	
W 150 x 24,0	24,0	160	102	6,6	10,3	139	115	31,5	1384	173,0	6,63	197,6	183	35,9	2,41	55,8	2,73	11,08	4,95	17,48	
W 150 x 29,8 (H)	29,8	157	153	6,6	9,3	138	118	38,5	1739	221,5	6,72	247,5	556	72,6	3,80	110,8	4,18	10,95	8,23	17,94	
W 150 x 37,1 (H)	37,1	162	154	8,1	11,6	139	119	47,8	2244	277,0	6,85	313,5	707	91,8	3,84	140,4	4,22	20,58	6,64	14,67	
W 200 x 15,0	15,0	200	100	4,3	5,2	190	170	19,4	1305	130,5	8,20	147,9	87	17,4	2,12	27,3	2,55	2,05	9,62	39,44	
W 200 x 19,3	19,3	203	102	5,8	6,5	190	170	25,1	1686	166,1	8,19	190,6	116	22,7	2,14	35,9	2,59	4,02	7,85	29,31	
W 200 x 22,5	22,5	206	102	6,2	8,0	190	170	29,0	2029	197,0	8,37	225,5	142	27,9	2,22	43,9	2,63	6,18	6,38	27,42	
W 200 x 26,6	26,6	207	133	5,8	8,4	190	170	34,2	2611	252,3	8,73	282,3	330	49,6	3,10	76,3	3,54	7,65	7,92	29,34	
W 200 x 31,3	31,3	210	134	6,4	10,2	190	170	40,3	3168	301,7	8,86	338,6	410	61,2	3,19	94,0	3,60	12,59	6,57	26,50	
W 200 x 35,9 (H)	35,9	201	165	6,2	10,2	181	161	45,7	3437	342,0	8,67	379,2	764	92,6	4,09	141,0	4,50	14,51	8,09	25,90	
W 200 x 41,7 (H)	41,7	205	166	7,2	11,8	181	157	53,5	4114	401,4	8,77	448,6	901	108,5	4,10	165,7	4,53	23,19	7,03	21,86	
W 200 x 46,1 (H)	46,1	203	203	7,2	11,0	181	161	58,6	4543	447,6	8,81	495,3	1535	151,2	5,12	229,5	5,58	22,01	9,23	22,36	
W 200 x 52,0 (H)	52,0	206	204	7,9	12,6	181	157	66,9	5298	514,4	8,90	572,5	1784	174,9	5,16	265,8	5,61	33,34	8,10	19,85	
HP 200 x 53,0 (H)	53,0	204	207	11,3	11,3	181	161	68,1	4977	488,0	8,55	551,3	1673	161,7	4,96	248,6	5,57	31,93	9,16	14,28	
W 200 x 59,0 (H)	59,0	210	205	9,1	14,2	182	158	76,0	6140	584,8	8,99	655,9	2041	199,1	5,18	303,0	5,64	47,69	7,22	17,32	
W 200 x 71,0 (H)	71,0	216	206	10,2	17,4	181	161	91,0	7660	709,2	9,17	803,2	2537	246,3	5,28	374,5	5,70	81,66	5,92	15,80	
W 200 x 86,0 (H)	86,0	222	209	13,0	20,6	181	157	110,9	9498	855,7	9,26	984,2	3139	300,4	5,32	458,7	5,77	142,19	5,07	12,06	
W 200 x 100,0 (H)*	100,0	229	210	14,5	23,7	182	158	127,1	11355	991,7	9,45	1152,2	3664	349,0	5,37	533,4	5,80	212,61	4,43	10,87	
W 250 x 17,9	17,9	251	101	4,8	5,3	240	220	23,1	2291	182,6	9,96	211,0	91	18,1	1,99	28,8	2,48	2,54	9,53	45,92	
W 250 x 22,3	22,3	254	102	5,8	6,9	240	220	28,9	2939	231,4	10,09	267,7	123	24,1	2,06	38,4	2,54	4,77	7,39	37,97	
W 250 x 25,3	25,3	257	102	6,1	8,4	240	220	32,6	3473	270,2	10,31	311,1	149	29,3	2,14	46,4	2,58	7,06	6,07	36,10	
W 250 x 28,4	28,4	260	102	6,4	10,0	240	220	36,6	4046	311,2	10,51	357,3	178	34,8	2,20	54,9	2,62	10,34	5,10	34,38	
W 250 x 32,7	32,7	258	146	6,1	9,1	240	220	42,1	4937	382,7	10,83	428,5	473	64,8	3,35	99,7	3,86	10,44	8,02	36,03	
W 250 x 38,5	38,5	262	147	6,6	11,2	240	220	49,6	6057	462,4	11,05	517,8	594	80,8	3,46	124,1	3,93	17,63	6,56	33,27	

Verificação da Flambagem Lateral com Torção

No caso de uma viga completamente contida por uma laje (com as devidas fixações), não é necessário verificar FLT. (Lb=0)

Exemplo:

Verificações a serem feitas:

FLM – Seção Semi compacta.

$$M_{Rd,Mesa} = \frac{Mpl - (Mpl - Mr) \cdot \left(\frac{\lambda - \lambda_p}{\lambda_r - \lambda_p} \right)}{1,1}$$

Lembrando que $Mpl = Zx \cdot Fy$

$$Mpl = 211.34,5 = 7279,5 \text{ kN.cm}$$

$$Mr = (F_y - \sigma_r) \cdot Wx$$

$$Mr = (34,5 - 0,3.34,5) \cdot 182,6$$

$$Mr = 4409,79 \text{ kN.cm}$$

$$M_{Rd,Mesa} = \frac{7279,5 - (7279,5 - 4409,79) \cdot \left(\frac{9,53 - 9,26}{24,18 - 9,26} \right)}{1,1} = 6570,5 \text{ kN.cm}$$

$$Msd = 8550,05 \text{ kN.cm}$$

Já sabemos que a peça não será aprovada. Poderíamos parar o dimensionamento aqui e selecionar outra peça, pois não atende a um Estado Limite Último

Exemplo:

Verificações a serem feitas:

$$M_{Rd,Alma} = \frac{M_{pl}}{1,1} = \frac{Zx \cdot Fy}{1,1}$$

FLA – Seção Compacta.

$$M_{Rd,Alma} = \frac{211.34,5}{1,1} = 6617,72 \text{ kN.cm}$$

PEÇA REPROVADA QUANTO AO ESTADO LIMITE ÚLTIMO, Para os Estados Limites FLM e FLA.

Exemplo:

Vamos descobrir qual peça atende:

Supondo que obrigatoriamente selecionaremos uma peça com alma e mesa compactos, já de posse do Momento Fletor atuante (M_{sd}) encontraremos o Z_x necessário para vencer a flexão:

$$M_{Rd,Alma} = \frac{Zx \cdot Fy}{1,1}$$

A partir de agora temos três restrições:

- 1: $I_x > 2226 \text{ cm}^4$
- 2: $Zx > 272,61 \text{ cm}^3$
- 3: $h < 260\text{mm}$

$$Z_{x,mín} = \frac{1,1 \cdot M_{sd}}{Fy} = \frac{1,1 \cdot 8550,05}{34,5} = 272,61 \text{ cm}^3$$

Exemplo:

BITOLA mm x kg/m	Massa Linear kg/m	d mm	b, mm	ESPESSURA		h mm	d' mm	Área cm ²	EIXO X - X				EIXO Y - Y				r _t cm	ESBELTEZ		
				t _e mm	t _r mm				I _x cm ⁴	W _x cm ³	r _x cm	Z _x cm ³	I _y cm ⁴	W _y cm ³	r _y cm	Z _y cm ³		MESA - λ ₄	ALMA - λ ₆	
W 150 x 13,0	13,0	148	100	4,3	4,9	138	118	16,6	635	85,8	6,18	96,4	82	16,4	2,22	25,5	2,60	1,72	10,20	27,49
W 150 x 18,0	18,0	153	102	5,8	7,1	139	119	23,4	939	122,8	6,34	139,4	126	24,7	2,32	38,5	2,69	4,34	7,18	20,48
W 150 x 22,5 (H)	22,5	152	152	5,8	6,6	139	119	29,0	1229	161,7	6,51	179,6	387	50,9	3,65	77,9	4,10	4,75	11,52	20,48
W 150 x 24,0	24,0	160	102	6,6	10,3	139	115	31,5	1384	173,0	6,63	197,6	183	35,9	2,41	55,8	2,73	11,08	4,95	17,48
W 150 x 29,8 (H)	29,8	157	153	6,6	9,3	138	118	38,5	1739	221,5	6,72	247,5	556	72,6	3,80	110,8	4,18	10,95	8,23	17,94
W 150 x 37,1 (H)	37,1	162	154	8,1	11,6	139	119	47,8	2244	277,0	6,85	313,5	707	91,8	3,84	140,4	4,22	20,58	6,64	14,67
W 200 x 15,0	15,0	200	100	4,3	5,2	190	170	19,4	1305	130,5	8,20	147,9	87	17,4	2,12	27,3	2,55	2,05	9,62	39,44
W 200 x 19,3	19,3	203	102	5,8	6,5	190	170	25,1	1686	166,1	8,19	190,6	116	22,7	2,14	35,9	2,59	4,02	7,85	29,31
W 200 x 22,5	22,5	206	102	6,2	8,0	190	170	29,0	2029	197,0	8,37	225,5	142	27,9	2,22	43,9	2,63	6,18	6,38	27,42
W 200 x 26,6	26,6	207	133	5,8	8,4	190	170	34,2	2611	252,3	8,73	282,3	330	49,6	3,10	76,3	3,54	7,65	7,92	29,34
W 200 x 31,3	31,3	210	134	6,4	10,2	190	170	40,3	3168	301,7	8,86	338,6	410	61,2	3,19	94,0	3,60	12,59	6,57	26,50
W 200 x 35,9 (H)	35,9	201	165	6,2	10,2	181	161	45,7	3437	342,0	8,67	379,2	764	92,6	4,09	141,0	4,50	14,51	8,09	25,90
W 200 x 41,7 (H)	41,7	205	166	7,2	11,8	181	157	53,5	4114	401,4	8,77	448,6	901	108,5	4,10	165,7	4,53	23,19	7,03	21,86
W 200 x 46,1 (H)	46,1	203	203	7,2	11,0	181	161	58,6	4543	447,6	8,81	495,3	1535	151,2	5,12	229,5	5,58	22,01	9,23	22,36
W 200 x 52,0 (H)	52,0	206	204	7,9	12,6	181	157	66,9	5298	514,4	8,90	572,5	1784	174,9	5,16	265,8	5,61	33,34	8,10	19,85
HP 200 x 53,0 (H)	53,0	204	207	11,3	11,3	181	161	68,1	4977	488,0	8,55	551,3	1673	161,7	4,96	248,6	5,57	31,93	9,16	14,28
W 200 x 59,0 (H)	59,0	210	205	9,1	14,2	182	158	76,0	6140	584,8	8,99	655,9	2041	199,1	5,18	303,0	5,64	47,69	7,22	17,32
W 200 x 71,0 (H)	71,0	216	206	10,2	17,4	181	161	91,0	7660	709,2	9,17	803,2	2537	246,3	5,28	374,5	5,70	81,66	5,92	15,80
W 200 x 86,0 (H)	86,0	222	209	13,0	20,6	181	157	110,9	9498	855,7	9,26	984,2	3139	300,4	5,32	458,7	5,77	142,19	5,07	12,06
W 200 x 100,0 (H)*	100,0	229	210	14,5	23,7	182	158	127,1	11355	991,7	9,45	1152,2	3664	349,0	5,37	533,4	5,80	212,61	4,43	10,87
W 250 x 17,9	17,9	251	101	4,8	5,3	240	220	23,1	2291	182,6	9,96	211,0	91	18,1	1,99	28,8	2,48	2,54	9,53	45,92
W 250 x 22,3	22,3	254	102	5,8	6,9	240	220	28,9	2939	231,4	10,09	267,7	123	24,1	2,06	38,4	2,54	4,77	7,39	37,97
W 250 x 25,3	25,3	257	102	6,1	8,4	240	220	32,6	3473	270,2	10,31	311,1	149	29,3	2,14	46,4	2,58	7,06	6,07	36,10
W 250 x 28,4	28,4	260	102	6,4	10,0	240	220	36,6	4046	311,2	10,51	357,3	178	34,8	2,20	54,9	2,62	10,34	5,10	34,38
W 250 x 32,7	32,7	258	146	6,1	9,1	240	220	42,1	4937	382,7	10,83	428,5	473	64,8	3,35	99,7	3,86	10,44	8,02	36,03
W 250 x 38,5	38,5	262	147	6,6	11,2	240	220	49,6	6057	462,4	11,05	517,8	594	80,8	3,46	124,1	3,93	17,63	6,56	33,27

<9,26

<92

Exemplo:

Recalculando:

ELS: Flecha atuante

$$y = \frac{q \cdot L^4}{384 \cdot E \cdot I_x} \quad y = \frac{0,146 \cdot 700^4}{384 \cdot 20500 \cdot 3473} = 1,28\text{cm} < 2\text{cm} \text{ OK!!!}$$

E.L.U:
FLM -

$$M_{Rd,Mesa} = \frac{Zx \cdot Fy}{1,1} = \frac{311,1 \cdot 34,5}{1,1} = 9757,22 \text{ kN.cm} > 8550,05 \text{ OK!!!!}$$

E.L.U:
FLA -

$$M_{Rd,Alma} = \frac{Zx \cdot Fy}{1,1} = \frac{311,1 \cdot 34,5}{1,1} = 9757,22 \text{ kN.cm} > 8550,05 \text{ OK!!!!}$$

E.L.U
Mrd Max:

$$M_{Rd,Máx} = \frac{1,5 \cdot Wx \cdot Fy}{1,1} = \frac{1,5 \cdot 270,2 \cdot 34,5}{1,1} = 12711 \text{ kN.cm} > 8550,05 \text{ OK!!!!}$$

Exemplo:

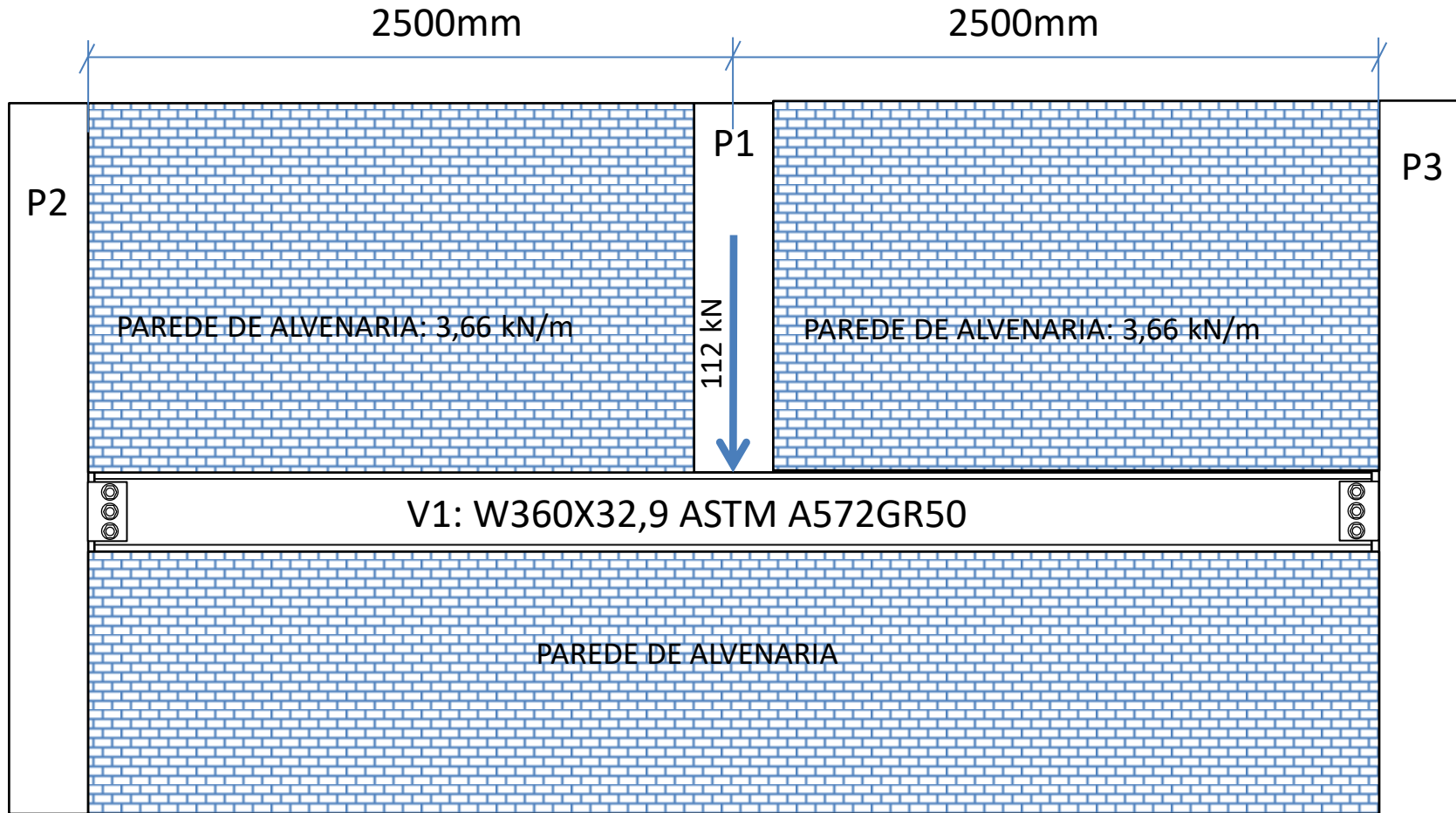
Verificações E.L.U do perfil W250X25,3

E.L.U:
FLM - $M_{Rd,Mesa} = \frac{Zx.Fy}{1,1} = \frac{311,1 \cdot 34,5}{1,1} = 9757,22 \text{ kN.cm} > 8550,05 \text{ OK!!!!}$

E.L.U:
FLA - $M_{Rd,Alma} = \frac{Zx.Fy}{1,1} = \frac{311,1 \cdot 34,5}{1,1} = 9757,22 \text{ kN.cm} > 8550,05 \text{ OK!!!!}$

E.L.U
Mrd Max: $M_{Rd,Máx} = \frac{1,5 \cdot Wx.Fy}{1,1} = \frac{1,5 \cdot 270,2 \cdot 34,5}{1,1} = 12711 \text{ kN.cm} > 8550,05 \text{ OK!!!!}$

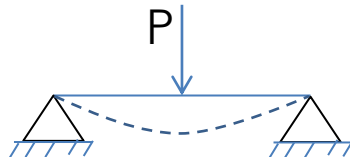
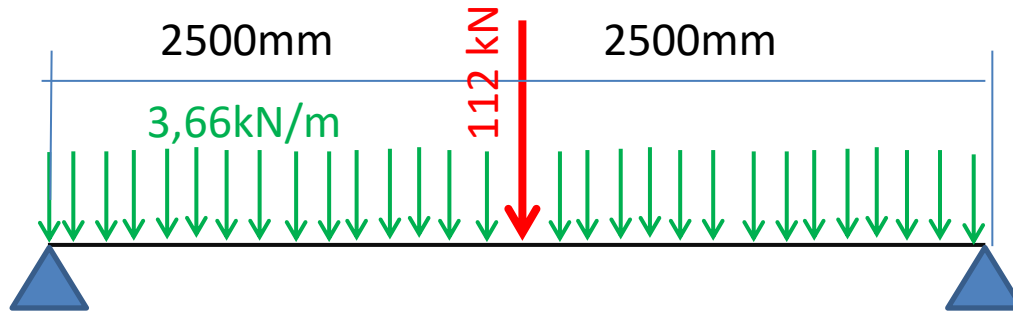
EXERCÍCIO 01



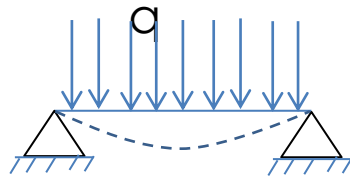
Determine se a bitola da Viga de transição V1 pode ser aprovada relativamente à flexão na situação acima. Utilize Perfis W, H ou HP Aço Minas ASTM A572GR50. Assuma ligação articulada entre a viga V1 e os pilares P2 e P3. Assuma também que os pilares P2 e P3 permanecem indeslocáveis durante o carregamento. As cargas já foram devidamente majoradas na combinação mais desfavorável. Assuma que o coeficiente de majoração médio das cargas é igual a 1,47

EXERCÍCIO 01

Passo 1 – Criar o diagrama de corpo livre e verificar flecha



$$M_{max} = \frac{P \cdot L}{4} \quad y = \frac{P \cdot L^3}{48 \cdot E \cdot I}$$



$$M_{max} = \frac{q \cdot L^2}{8} \quad y = \frac{5 \cdot q \cdot L^4}{384 \cdot E \cdot I}$$

Flecha atuante:

PONTUAL

PAREDE

PP-VIGA

$$y = \frac{P \cdot L^3}{48 \cdot E \cdot I_x} + \frac{5 \cdot q \cdot L^4}{384 \cdot E \cdot I_x} + \frac{5 \cdot q_{pp} \cdot L^4}{384 \cdot E \cdot I_x} = \frac{\left(\frac{112}{1,47}\right) \cdot 500^3}{48 \cdot 20500 \cdot 8358} + \frac{5 \cdot \left(\frac{0,0366}{1,47}\right) \cdot 500^4}{384 \cdot 20500 \cdot 8358} + \frac{5 \cdot (0,00329) \cdot 500^4}{384 \cdot 20500 \cdot 8358} = 1,29\text{cm}$$

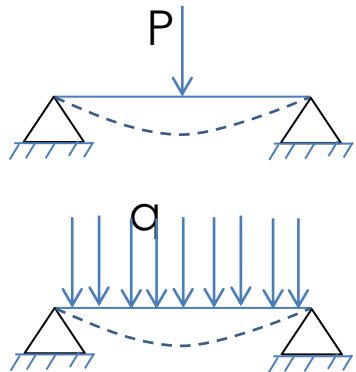
EXERCÍCIO 01

- ^a L é o vão teórico entre apoios ou o dobro do comprimento teórico do balanço, H é a altura total do pilar (distância do topo à base) ou a distância do nível da viga de rolamento à base, h é a altura do andar (distância entre centros das vigas de dois pisos consecutivos ou entre centros das vigas e a base no caso do primeiro andar).
- ^b Deslocamento paralelo ao plano do fechamento (entre linhas de tirantes, caso estes existam).
- ^c Deslocamento perpendicular ao plano do fechamento.
- ^d Considerar apenas as ações variáveis perpendiculares ao plano de fechamento (vento no fechamento) com seu valor característico.
- ^e Considerar combinações raras de serviço, utilizando-se as ações variáveis de mesmo sentido que o da ação permanente.
- ^f Considerar apenas as ações variáveis de sentido oposto ao da ação permanente (vento de sucção) com seu valor característico.
- ^g Deve-se também evitar a ocorrência de empoçamento, com atenção especial aos telhados de pequena declividade.
- ^h Caso haja paredes de alvenaria sobre ou sob uma viga, solidarizadas com essa viga, o deslocamento vertical também não deve exceder a 15 mm.
- ⁱ Valor não majorado pelo coeficiente de impacto.
- ^j Considerar combinações raras de serviço.
- ^k No caso de pontes rolantes siderúrgicas, o deslocamento também não pode ser superior a 50 mm.
- ^l O diferencial do deslocamento horizontal entre pilares do pórtico que suportam as vigas de rolamento não pode superar 15 mm.
- ^m Tomar apenas o deslocamento provocado pelas forças cortantes no andar considerado, desprezando-se os deslocamentos de corpo rígido provocados pelas deformações axiais dos pilares e vigas.

PERFIL ATENDE ESTADO LIMITE DE SERVIÇO > PROCEDER COM AS VERIFICAÇÕES ELU

EXERCÍCIO 01

Passo 2 – VERIFICAR ESTADOS LIMITES ÚLTIMOS (Flexão)



$$M_{max} = \frac{P \cdot L}{4} = \frac{112.500}{4} = 14000 \text{ kN.cm}$$

$$M_{max} = \frac{q \cdot L^2}{8} = \frac{(0,0366 + 1,47 \cdot 0,00329) \cdot 500^2}{8} = 1295 \text{ kN.cm}$$

$$MSd = 15295 \text{ kN.cm}$$

Verificação Flambagem Local da Mesa (FLM)

$$\frac{b}{t} = \frac{bf}{2tf} = 7,47$$

$$\lambda_p = 0,38 \sqrt{\frac{E}{F_y}} = 0,38 \sqrt{\frac{20500}{34,5}} = 9,26 \rightarrow FLM \text{ COMPACTO}$$

EXERCÍCIO 01

Passo 2 – VERIFICAR ESTADOS LIMITES ÚLTIMOS (Flexão)

Verificação Flambagem Local da Alma (FLA)

$$\frac{h}{tw} = \frac{d'}{tw} = 53,10 \quad \lambda_p = 3,76 \sqrt{\frac{E}{F_y}} = 3,76 \sqrt{\frac{20500}{34,5}} = 91,62 \rightarrow FLA - COMPACTO$$

Verificação Flambagem Lateral com Torção(FLT)

$$\frac{Lb}{ry} = \frac{500}{2,63} = 190,11 \quad \lambda_p = 1,76 \sqrt{\frac{E}{F_y}} = 1,76 \sqrt{\frac{20500}{34,5}} = 42,90 \rightarrow \text{calcular } \lambda_r$$

EXERCÍCIO 01

Passo 2 – VERIFICAR ESTADOS LIMITES ÚLTIMOS (Flexão)

As Notas relacionadas à Tabela G.1 são as seguintes:

$$1) \lambda_r = \frac{1,38\sqrt{I_y J}}{r_y J \beta_1} \sqrt{1 + \sqrt{1 + \frac{27 C_w \beta_1^2}{I_y}}}$$

$$\beta_1 = \frac{(34,5 - 0,3.34,5).479}{20500.9,15} = 0,0617$$

$$M_{cr} = \frac{C_b \pi^2 E I_y}{L_b^2} \sqrt{\frac{C_w}{I_y} \left(1 + 0,039 \frac{J L_b^2}{C_w} \right)}$$

onde:

$$\beta_1 = \frac{(f_y - \sigma_t)W}{E J}$$

$$C_w = \frac{I_y (d - t_f)^2}{4}, \text{ para seções I}$$

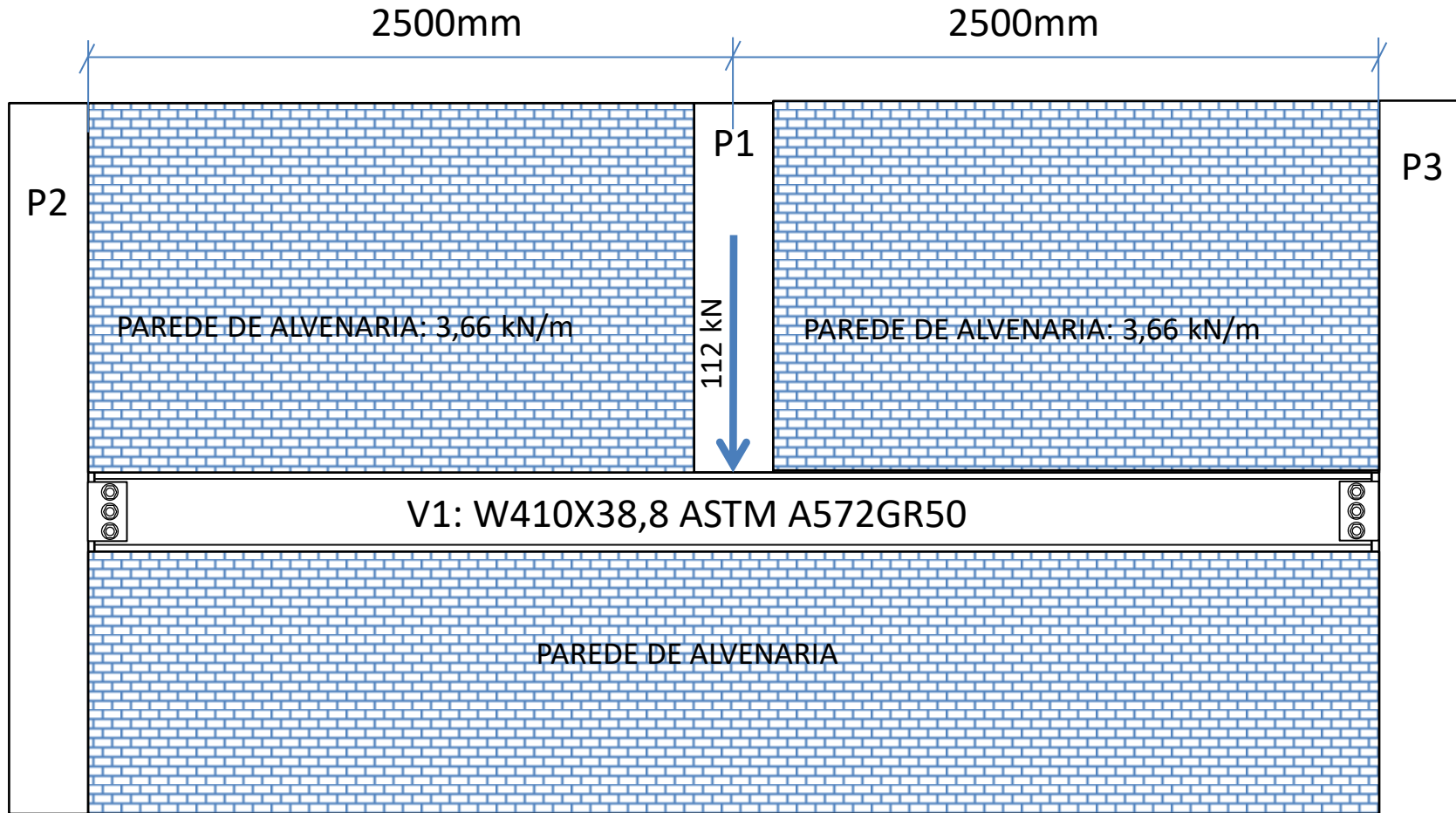
$$C_w = \frac{t_f (b_f - 0,5 t_w)^3 (d - t_f)^2}{12} \left[\frac{3(b_f - 0,5 t_w) t_f + 2(d - t_f) t_w}{6(b_f - 0,5 t_w) t_f + (d - t_f) t_w} \right], \text{ para seções U}$$

$$\lambda_r = \frac{1,38 \cdot \sqrt{291.9,15}}{2,63.9,15.0,0617} \cdot \sqrt{1 + \sqrt{1 + \frac{27.84111.0,0617^2}{291}}} = 122,66 \rightarrow \text{calcular } M_{cr}$$

$$M_{cr} = \frac{1 \cdot \pi^2 \cdot 20500 \cdot 291}{500^2} \cdot \sqrt{\frac{84111}{291} \cdot (1 + 0,039 \cdot \frac{9,15 \cdot 500^2}{84111})} = 5747 \text{ kN.cm} - \text{Eq. C}$$

$$M_{Rd,FLT} = \frac{Mc_r}{1,1} = \frac{5747}{1,1} = 5224 \text{ kN.cm} < 15295 \text{ kNm} \quad \text{VIGA REPROVADA PELO ESTADO LIMITE FLT (293%)}$$

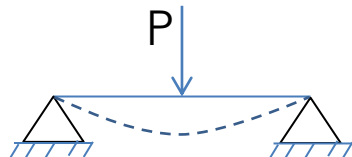
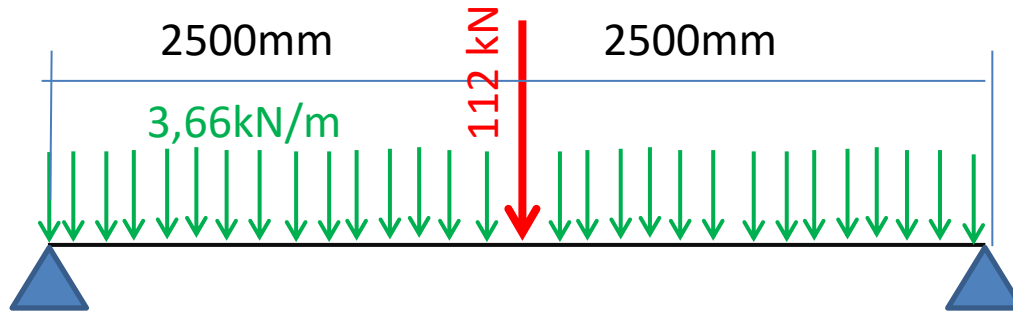
EXERCÍCIO 02



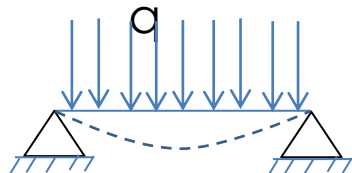
Determine se a bitola da Viga de transição V1 pode ser aprovada relativamente à flexão na situação acima. Utilize Perfis W, H ou HP Aço Minas ASTM A572GR50. Assuma ligação articulada entre a viga V1 e os pilares P2 e P3. Assuma também que os pilares P2 e P3 permanecem indeslocáveis durante o carregamento. As cargas já foram devidamente majoradas na combinação mais desfavorável. Adote 1,47 como coeficiente de majoração médio das cargas

EXERCÍCIO 02

Passo 1 – Criar o diagrama de corpo livre.



$$M_{max} = \frac{P \cdot L}{4} \quad y = \frac{P \cdot L^3}{48 \cdot E \cdot I}$$



$$M_{max} = \frac{q \cdot L^2}{8} \quad y = \frac{5 \cdot q \cdot L^4}{384 \cdot E \cdot I}$$

Flecha atuante:

PONTUAL

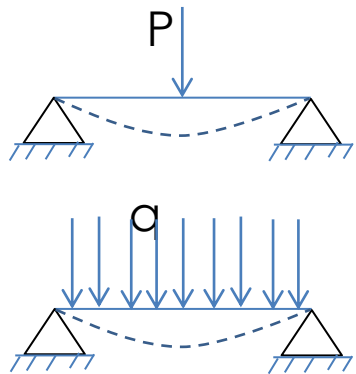
PAREDE

PP-VIGA

$$y = \frac{P \cdot L^3}{48 \cdot E \cdot I_x} + \frac{5 \cdot q \cdot L^4}{384 \cdot E \cdot I_x} + \frac{5 \cdot q_{pp} \cdot L^4}{384 \cdot E \cdot I_x} = \frac{\left(\frac{112}{1,47}\right) \cdot 500^3}{48 \cdot 20500 \cdot 12777} + \frac{5 \cdot \left(\frac{0,0366}{1,47}\right) \cdot 500^4}{384 \cdot 20500 \cdot 12777} + \frac{5 \cdot 0,00388 \cdot 500^4}{384 \cdot 20500 \cdot 12777} = 0,85\text{cm}$$

EXERCÍCIO 02

Passo 2 – VERIFICAR ESTADOS LIMITES ÚLTIMOS (Flexão)



$$M_{max} = \frac{P \cdot L}{4} = \frac{112.500}{4} = 14000 \text{ kN.cm}$$

$$M_{max} = \frac{q \cdot L^2}{8} = \frac{(0,0366 + 1,47 \cdot 0,00388) \cdot 500^2}{8} = 1322 \text{ kN.cm}$$

$$MSd = 15322 \text{ kN.cm}$$

Verificação Flambagem Local da Mesa (FLM)

$$\frac{b}{t} = \frac{bf}{2tf} = 7,95$$

$$\lambda_p = 0,38 \sqrt{\frac{E}{F_y}} = 0,38 \sqrt{\frac{20500}{34,5}} = 9,26 \rightarrow FLM \text{ COMPACTO}$$

EXERCÍCIO 02

Passo 2 – VERIFICAR ESTADOS LIMITES ÚLTIMOS (Flexão)

Verificação Flambagem Local da Alma (FLA)

$$\frac{h}{tw} = \frac{d'}{tw} = 55,84 \quad \lambda_p = 3,76 \sqrt{\frac{E}{F_y}} = 3,76 \sqrt{\frac{20500}{34,5}} = 91,62 \rightarrow FLA COMPACTO$$

Verificação Flambagem Lateral com Torção(FLT)

$$\frac{Lb}{ry} = \frac{500}{2,83} = 176,68 \quad \lambda_p = 1,76 \sqrt{\frac{E}{F_y}} = 1,76 \sqrt{\frac{20500}{34,5}} = 42,90 \rightarrow \text{calcular } \lambda_r$$

EXERCÍCIO 02

Passo 2 – VERIFICAR ESTADOS LIMITES ÚLTIMOS (Flexão)

As Notas relacionadas à Tabela G.1 são as seguintes:

$$1) \lambda_r = \frac{1,38\sqrt{I_y J}}{r_y J \beta_1} \sqrt{1 + \sqrt{1 + \frac{27 C_w \beta_1^2}{I_y}}}$$

$$M_{cr} = \frac{C_b \pi^2 E I_y}{L_b^2} \sqrt{\frac{C_w}{I_y} \left(1 + 0,039 \frac{J L_b^2}{C_w} \right)}$$

onde:

$$\beta_1 = \frac{(f_y - \sigma_t)W}{E J}$$

$$C_w = \frac{I_y (d - t_f)^2}{4}, \text{ para seções I}$$

$$C_w = \frac{t_f (b_f - 0,5 t_w)^3 (d - t_f)^2}{12} \left[\frac{3(b_f - 0,5 t_w) t_f + 2(d - t_f) t_w}{6(b_f - 0,5 t_w) t_f + (d - t_f) t_w} \right], \text{ para seções U}$$

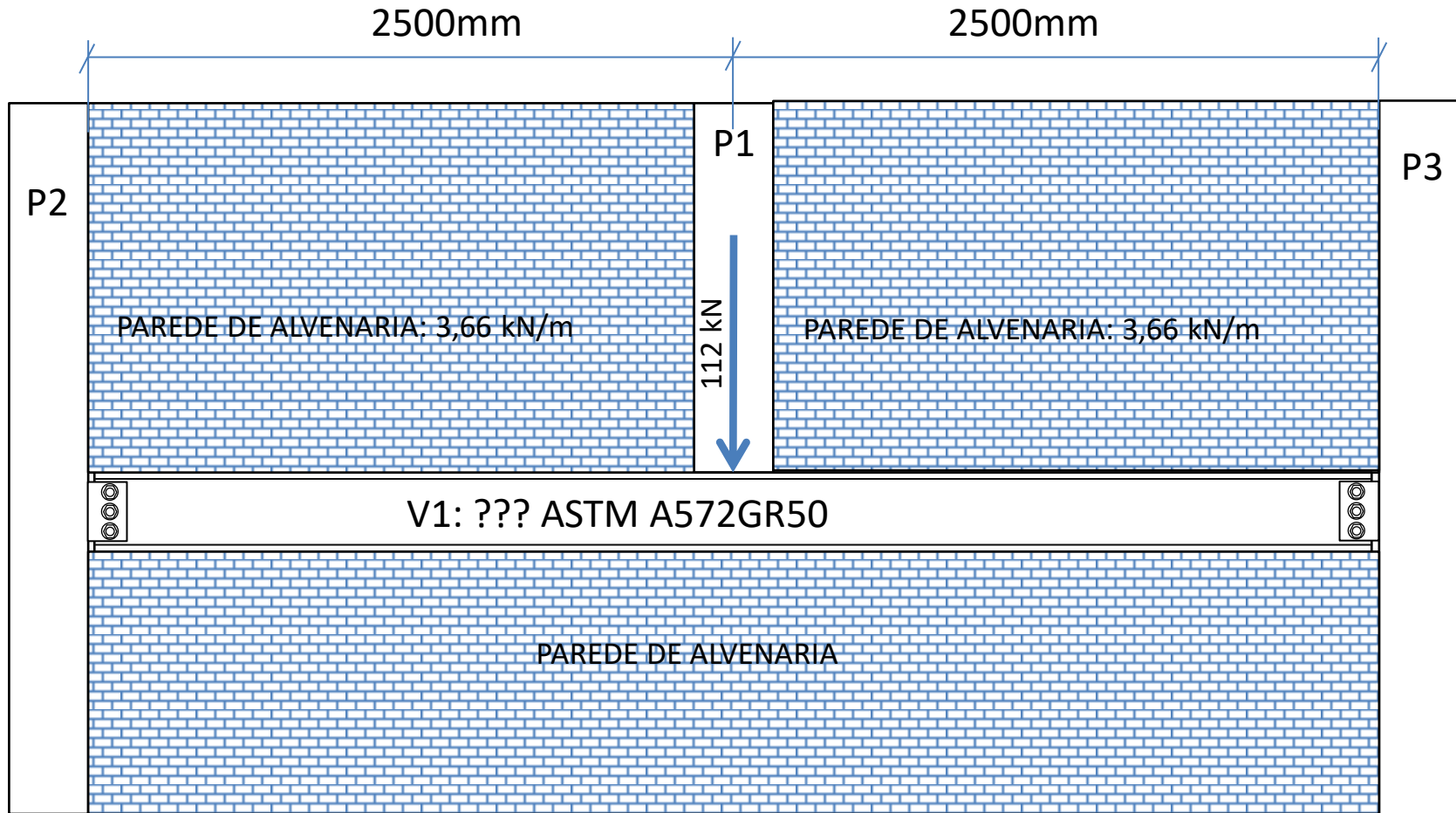
$$\beta_1 = \frac{(34,5 - 0,334,5) \cdot 640,5}{20500 \cdot 11,69} = 0,0645$$

$$\lambda_r = \frac{1,38 \cdot \sqrt{404 \cdot 11,69}}{2,83 \cdot 11,69 \cdot 0,0645} \cdot \sqrt{1 + \sqrt{1 + \frac{27.153190 \cdot 0,0645^2}{404}}} = 122,54 \rightarrow \text{calcular } M_{cr}$$

$$M_{cr} = \frac{1 \cdot \pi^2 \cdot 20500 \cdot 404}{500^2} \cdot \sqrt{\frac{153190}{404} \cdot (1 + 0,039 \cdot \frac{11,69500^2}{153190})} = 8408 \text{ kN.cm} - \text{Eq. C}$$

$$M_{Rd,FLT} = \frac{Mc_r}{1,1} = \frac{8408}{1,1} = 7643,63 \text{ kN.cm} < 15322 \text{ kNm} \quad \text{VIGA REPROVADA PELO ESTADO LIMITE FLT (200%)}$$

EXERCÍCIO 03



Determine a bitola da Viga de transição V1 relativamente à flexão na situação acima. Utilize Perfis W, H ou HP Aço minas ASTM A572GR50. Assuma ligação articulada entre a viga V1 e os pilares P2 e P3. Assuma também que os pilares P2 e P3 permanecem indeslocáveis durante o carregamento. As cargas já foram devidamente majoradas na combinação mais desfavorável. ADOTAR COEFICIENTE MÉDIO DE MAJORAÇÃO = 1,47

Curso de Projeto e Cálculo de Estruturas metálicas

EXERCÍCIO 03

PARTIREMOS DA VERIFICAÇÃO DE FLT POIS ESSE É NOSSO MAIOR PROBLEMA AGORA

Verificação Flambagem Lateral com Torção(FLT) - Tentativa com Perfil W530X82

$$\frac{Lb}{ry} = \frac{500}{4,41} = 113,4 \quad \lambda_p = 1,76 \sqrt{\frac{E}{F_y}} = 1,76 \sqrt{\frac{20500}{34,5}} = 42,90 \rightarrow \text{calcular } \lambda_r$$

$$\beta_1 = \frac{(34,5 - 0,3.34,5).1801,8}{20500.51,23} = 0,04143$$

a) $M_{Rd} = \frac{M_{p\ell}}{\gamma_{a1}}$, para $\lambda \leq \lambda_p$

b) $M_{Rd} = \frac{C_b}{\gamma_{a1}} \left[M_{p\ell} - (M_{p\ell} - M_r) \frac{\lambda - \lambda_p}{\lambda_r - \lambda_p} \right] \leq \frac{M_{p\ell}}{\gamma_{a1}}$, para $\lambda_p < \lambda \leq \lambda_r$

c) $M_{Rd} = \frac{M_{cr}}{\gamma_{a1}} \leq \frac{M_{p\ell}}{\gamma_{a1}}$, para $\lambda > \lambda_r$

$$\lambda_r = \frac{1,38 \cdot \sqrt{2028.51,23}}{4,41.51,23.0,04143} \cdot \sqrt{1 + \sqrt{1 + \frac{27.1340255.0,04143^2}{2028}}} = 122,30 \rightarrow Eq. B$$

$$M_{Rd,FLT} = \frac{1}{1,1} \cdot \left(2058,5.34,5 - (2058,5.34,5 - (0,7.34,5.1801,8)) \cdot \frac{113,4 - 42,90}{122,30 - 42,90} \right) = 42358 \text{ kN.cm}$$

PERFIL APROVADO: 15322 kN.cm / 42358 kN.cm = 36% (VAMOS REDUZIR O PESO)

EXERCÍCIO 03

Verificação Flambagem Lateral com Torção(FLT) - Tentativa com Perfil W410X60

$$\frac{Lb}{ry} = \frac{500}{3,98} = 125,62 \quad \lambda_p = 1,76 \sqrt{\frac{E}{F_y}} = 1,76 \sqrt{\frac{20500}{34,5}} = 42,90 \rightarrow \text{calcular } \lambda_r$$

$$\beta_1 = \frac{(34,5 - 0,3.34,5). 1066,7}{20500. 33,78} = 0,0372$$

$$\lambda_r = \frac{1,38 \cdot \sqrt{1205.33,78}}{3,98.33,28.0,0372} \cdot \sqrt{1 + \sqrt{1 + \frac{27.467404.0,0372^2}{1205}}} = 125,13 \rightarrow \text{calcular } Mcr$$

$$M_{cr} = \frac{1 \cdot \pi^2 \cdot 20500 \cdot 1205}{500^2} \cdot \sqrt{\frac{467404}{1205} \cdot (1 + 0,039 \cdot \frac{33,78.500^2}{467404})} = 25076 \text{ kN.cm} - \text{Ainda está pesado}$$

$$M_{Rd,FLT} = \frac{Mc}{1,1} = \frac{25076}{1,1} = 22796 \text{ kN.cm} > 15322 \text{ kNm} \quad \text{VIGA APROVADA 67,2\% (VAMOS REDUZIR O PESO)}$$

EXERCÍCIO 03

Verificação Flambagem Lateral com Torção(FLT) - Tentativa com Perfil W410X53

$$\frac{Lb}{ry} = \frac{500}{3,84} = 130,20 \quad \lambda_p = 1,76 \sqrt{\frac{E}{F_y}} = 1,76 \sqrt{\frac{20500}{34,5}} = 42,90 \rightarrow \text{calcular } \lambda_r$$

$$\beta_1 = \frac{(34,5 - 0,3.34,5).929,7}{20500.23,38} = 0,0468$$

$$\lambda_r = \frac{1,38 \cdot \sqrt{1009.23,38}}{3,84.23,28.0,0468} \cdot \sqrt{1 + \sqrt{1 + \frac{27.387194.0,0468^2}{1009}}} = 122,71 \rightarrow \text{calcular } Mcr$$

$$M_{cr} = \frac{1 \cdot \pi^2 \cdot 20500 \cdot 1009}{500^2} \cdot \sqrt{\frac{387194}{1009} \cdot (1 + 0,039 \cdot \frac{23,38500^2}{387194})} = 20162 \text{ kN.cm}$$

$$M_{Rd,FLT} = \frac{M_{cr}}{1,1} = \frac{20162}{1,1} = 18329 \text{ kN.cm} > 15322 \text{ kNm} \quad \text{VIGA APROVADA 83,5\% (VALOR RAZOÁVEL)}$$

EXERCÍCIO 03

Verificação Flambagem Lateral com Torção(FLT) - Tentativa com Perfil W410X46,1

$$\frac{Lb}{ry} = \frac{500}{2,95} = 169,49 \quad \lambda_p = 1,76 \sqrt{\frac{E}{F_y}} = 1,76 \sqrt{\frac{20500}{34,5}} = 42,90 \rightarrow \text{calcular } \lambda_r$$

$$\beta_1 = \frac{(34,5 - 0,3.34,5).778,7}{20500.20,06} = 0,0457$$

$$\lambda_r = \frac{1,38 \cdot \sqrt{514 \cdot 20,08}}{2,95 \cdot 20,08 \cdot 0,0457} \cdot \sqrt{1 + \sqrt{1 + \frac{27.196571 \cdot 0,0457^2}{514}}} = 124,18 \rightarrow \text{calcular } Mcr$$

$$M_{cr} = \frac{1 \cdot \pi^2 \cdot 20500 \cdot 514}{500^2} \cdot \sqrt{\frac{196571}{514} \cdot (1 + 0,039 \cdot \frac{20,08 \cdot 500^2}{196571})} = 11,493 \text{ kN.cm} - \text{PERFIL REPROVADO}$$

O PERFIL MAIS LEVE QUE É APROVADO É O W410X53

EXERCÍCIO 03

Verificação Flambagem Local da Mesa (FLM) W410X53,00

$$\frac{b}{t} = \frac{bf}{2tf} = 8,12 \quad \lambda_p = 0,38 \sqrt{\frac{E}{F_y}} = 0,38 \sqrt{\frac{20500}{34,5}} = 9,26 \rightarrow COMPACTO$$

Verificação Flambagem Local da Alma (FLA)

$$\frac{h}{tw} = \frac{d'}{tw} = 47,63 \quad \lambda_p = 3,76 \sqrt{\frac{E}{F_y}} = 3,76 \sqrt{\frac{20500}{34,5}} = 91,62 \rightarrow COMPACTO$$

EXERCÍCIO 03

$$M_{max} = \frac{P \cdot L}{4} = \frac{112.500}{4} = 14000 \text{ kN.cm}$$

$$M_{max} = \frac{q \cdot L^2}{8} = \frac{(0,0366 + 1,47 \cdot 0,0053) \cdot 500^2}{8} = 1387 \text{ kN.cm}$$

$MSd = 15387 \text{ kN.cm} < M_{Rd,FLT} = 18329 \text{ kN.cm}$ (84% de aproveitamento)